



UNIVERSIDAD NACIONAL  
AUTONOMA

DIVISION DE ESTUDIOS DE POSGRADO  
FACULTAD DE INGENIERIA

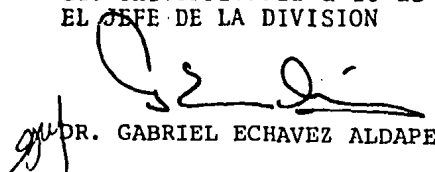
01174  
1-A  
2ej

Profr. PEDRO CAUDILLO MARQUEZ  
Presente

Comunico a usted que a propuesta del COORDINADOR DE LA  
SECCION EN ING. PETROLERA ha sido designado  
como director de tesis del alumno(a)  
JESUS EMILIO OLAYA BENITEZ para obtener el grado de  
M EN I EN PETROLERA.

Mucho he de agradecerle su comunicación, por escrito, de la  
aceptación a esta designación y el nombre de la tesis a de-  
sarrollar.

Atentamente,  
"POR MI RAZA HABLARA EL ESPIRITU"  
Cd. Universitaria a 10 de noviembre de 1986  
EL JEFE DE LA DIVISION

  
Dr. GABRIEL ECHAVEZ ALDAPE



## **UNAM – Dirección General de Bibliotecas Tesis Digitales Restricciones de uso**

### **DERECHOS RESERVADOS © PROHIBIDA SU REPRODUCCIÓN TOTAL O PARCIAL**

Todo el material contenido en esta tesis está protegido por la Ley Federal del Derecho de Autor (LFDA) de los Estados Unidos Mexicanos (México).

El uso de imágenes, fragmentos de videos, y demás material que sea objeto de protección de los derechos de autor, será exclusivamente para fines educativos e informativos y deberá citar la fuente donde la obtuvo mencionando el autor o autores. Cualquier uso distinto como el lucro, reproducción, edición o modificación, será perseguido y sancionado por el respectivo titular de los Derechos de Autor.

## TABLA DE CONTENIDO

	Pág.
INTRODUCCION	1
1. FORMULACION DE LAS ECUACIONES PARA MINIMIZAR LOS COSTO DE PERFORACION	3
1.2. RELACIONES BASICAS	6
1.3.1. Ritmo de perforación	6
1.3.2. Efecto de la velocidad de rotación sobre el ritmo del ritmo de perforación	7
1.3.3. Efecto del desgaste del diente sobre el ritmo de perforación	8
1.4. DESGASTE DE LA BARRENA	10
1.4.1. Efecto de la velocidad de rotación sobre el desgaste de la barrena	10
1.4.2. Efecto del peso sobre barrena sobre el desgaste del diente	11
1.4.3. Efecto del desgaste del diente sobre el ritmo de desgaste del diente	12
1.4.4. Efecto del peso sobre barrena en la vida de la barrena	13
1.4.5. Efecto de la velocidad de rotación sobre la vida de la barrena	14
2. DETERMINACION DE LOS PARAMETROS A PARTIR DE DATOS	

DE CAMPO	16
2.1 Determinación de M, \ y K (Prueba de 5 puntos)	16
2.2 Determinación de C2	18
2.3 Parámetros de desgaste del diente	20
2.4 Constante del balero	21
2.5 Error en la medición de parámetros	23
2.6 Consideraciones teoricas	23
3. HIDRAULICA	26
3.1 Efecto de la hidráulica	28
3.2 Interacciones entre la hidráulica y el lodo	29
3.3 Procedimiento para el cálculo de la potencia hidráulica en la barrenia	30
4. METODOLOGIA DEL PROGRAMA	34
4.1 DIAGRAMA DE FLUJO	36
4.2 LISTADO	41
4.3 RESULTADOS	51
4.4 DEFINICION DE LAS VARIABLES EMPLEADAS EN EL PROGRAMA	56
4.5 BIBLIOGRAFIA	65
APENDICE	67
4.6 NOMENCLATURA	74

## INTRODUCCION

Experimentos previos de laboratorio y de campo han demostrado el efecto de diferentes variables sobre el ritmo de perforación. Estos resultados han sido incorporados dentro de optimizaciones teóricas para reducir el costo por pie perforado.

Las teorías de perforación para minimizar costos tratan, a partir de la combinación de datos históricos y de técnicas de predicción empíricas, de seleccionar el peso sobre barrenas y la velocidad de rotación óptimos. Soluciones pasadas requieren un uso extensivo de equipos de computación; debido tanto a la complejidad de las formulaciones matemáticas, como al gran número de variables involucradas.

Intentos por aplicar estos resultados en el campo han fallado debido a la incertidumbre de los datos de entrada. La combinación óptima del peso sobre barrenas y de la velocidad de rotación para minimizar el costo por pie perforado cambia para cada tipo de barrena, equipo de perforación, tipo de formación, y conjunto de condiciones de operación. Por lo tanto deben calcularse el peso sobre barrenas, y la velocidad de rotación óptimos para obtener el mínimo costo total por pie perforado de cada barrena.

Después de obtenidos el peso sobre barrenas y la velocidad de rotación óptimos, se procede a optimizar la hidráulica para garantizar una buena limpieza en el fondo del agujero, y así asegurar el máximo ritmo de perforación.

Este trabajo tiene la finalidad de presentar en forma integral un programa de computación para minimizar los costos por pie perforado, optimizando el peso sobre barrenas, la velocidad de rotación, y la hidráulica.

## 1 FORMULACION DE LAS ECUACIONES PARA MINIMIZAR LOS COSTOS DE PERFORACION

La optimización del peso sobre barrena y velocidad de rotación, para obtener el menor costo por pie perforado en un intervalo y bajo condiciones de operación dadas, no es conveniente extenderla a otros intervalos, ya que los costos por pie perforado varian para cada tipo de barrena.

Los costos por pie perforado de una barrena es la suma de tres costos: el costo de la barrena, el costo de viaje, y los costos de rotación. Si el costo de barrena es dividido por la longitud perforada, el resultado es el costo por pie para el intervalo perforado.

$$\text{Costo \$/pie} = \frac{\text{CB} + \text{CT} + \text{CR}}{Y} \quad (\text{1})$$

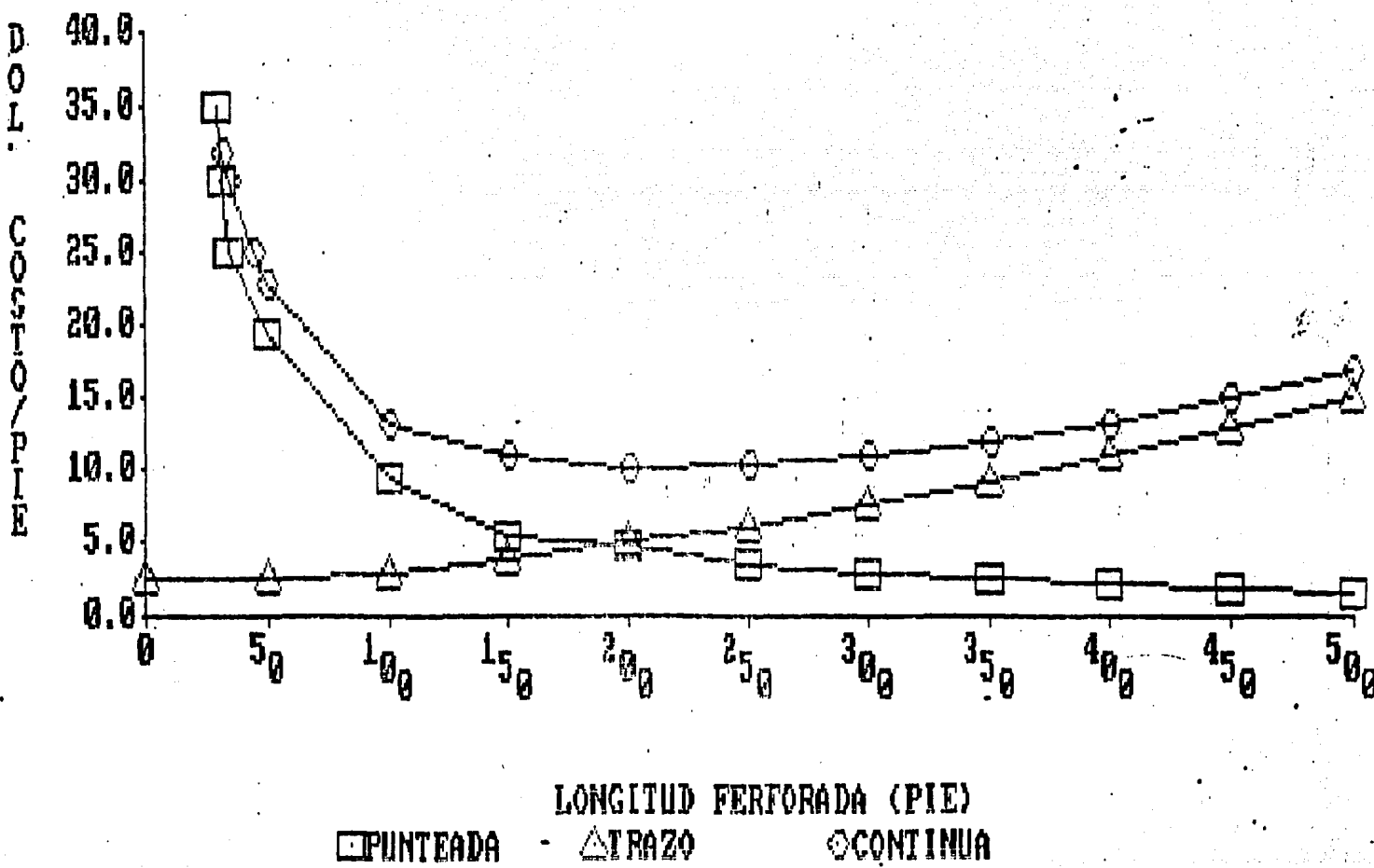
Los costos por pie perforado dado por la ecuación (1), es el costo que será minimizado mediante una selección apropiada de peso sobre barrena y velocidad de rotación. La ecuación (1) muestra que la selección de peso sobre barrena y velocidad de rotación, sólo afecta dos parámetros: costo de rotación y la longuitud perforada. El costo de barrena y el costo de viaje son fijos para una barrena en particular.

Si el costo fijo (barrena y viaje), y el costo de rotación son considerados separadamente, notamos que la asignación del costo fijo para el costo por pie perforado podría ser muy alto si fuera determinado después de que la barrena perforara el primer pie. Sin embargo esta asignación declina continuamente a medida que la barrena sigue perforando. Por el contrario, la contribución del costo de rotación al costo por pie perforado es inicialmente bajo, ya que la barrena es nueva y perfora más rápido, pero después crece continuamente puesto que el ritmo de perforación declina con el desgaste de la barrena. Estas dos relaciones, según lo ilustra Bruce<sup>1</sup> son mostradas en la Fig. (1) para una barrena hipotética a un peso y velocidad de rotación constante. En esta figura la curva punteada es el costo por pie atribuible a un costo fijo y es independiente del peso sobre barrena y velocidad de rotación seleccionadas, y la curva a trazo es el costo de rotación por pie y es función del peso sobre barrena y velocidad de rotación seleccionadas.

Sus posiciones relativas en la Fig. (1) podrían cambiar drásticamente con otras selecciones de peso sobre barrena y velocidad de rotación. Finalmente, la curva continua es el costo total por pie, y es simplemente, la suma de las dos funciones.

Como se observa la curva continua tiene un valor mínimo, y éste valor está asociado con un peso sobre barrena y velocidad de rotación particulares. Para determinar si este costo mínimo es el

FIG. 1



mínimo costo por pie perforado para todas las combinaciones prácticas de peso sobre barrena y velocidad de rotación, cualquier constante o variable debe ser calculada y comparada. Este trabajo es muy laborioso si se efectúa a mano, pero puede hacerse rápidamente en computadora.

El ritmo de perforación puede ser incrementado por un aumento en el peso sobre barrena o la velocidad de rotación, sin embargo, esto reduciría la vida útil de la barrena, y Además, un cambio relativo en el peso sobre barrena y velocidad de rotación produciría diferentes resultados, tanto en el ritmo de perforación, como en el desgaste de la barrena; dependiendo de las condiciones de esta.

Para la solución del problema de optimización de variables ( peso sobre barrena y velocidad de rotación ) se requiere de una rama de las matemáticas conocida como cálculo variacional.

Con las técnicas del cálculo variacional se han logrado programas para perforar a mínimo costo. Estos están basados en el cambio de peso sobre barrena y en la velocidad.

En los párrafos anteriores se han establecido: los tipos de costos que pueden minimizarse, las razones por las cuales éste costo mínimo existe, que el menor costo puede hallarse por una apropiada selección de peso sobre barrena y velocidad de rotación. La

siguiente sección presentará las relaciones básicas entre las variables de operación: peso sobre barrena, velocidad de rotación y condiciones de la barrena.

## 1.2 RELACIONES BASICAS

Las relaciones entre el peso sobre barrena y velocidad de rotación con el ritmo de perforación, se presentan detalladamente a continuación. Las relaciones concernientes al ritmo de perforación se obtuvieron a partir de experiencias de campo en actividades programadas de pruebas de perforación<sup>2,3</sup>

## 1.3 RITMO DE PERFORACION

### 1.3.1 Efecto del peso sobre barrena en el ritmo de perforación

Los incrementos en el peso sobre barrena causan un incremento correspondiente en el ritmo de perforación. Esto sucede en todos los casos, excepto en aquellos en donde a la barrena se le adhieren los recortes lo cual le impiden perforar eficientemente, lo que ocurre frecuentemente en arcillas muy suaves. La relación entre el ritmo de perforación y peso sobre barrena se asume que es lineal en todo el rango de peso sobre barrena que se usa normalmente en operaciones de perforación rotatoria. Extrapolando en la gráfica de ritmo de perforación vs peso sobre barrena, se

obtiene que para un ritmo de perforación cero, la intersección en el eje de peso sobre barrena si da un valor negativo se puede interpretar como un embalamiento parcial de la barrena, o si da un valor positivo se podría interpretar como el umbral del peso que debe excederse antes de que el diente de la barrena penetre la formación; restando la intersección del peso sobre barrena, es posible escribir la relación entre el ritmo de perforación y el peso sobre barrena, de tal forma que sólo intervenga una constante que describa exactamente la forma en que se incrementa el ritmo de perforación a medida que se incrementa el peso sobre barrena. La relación entre el ritmo de perforación y el peso sobre barrena está dada por:

$$\frac{dy}{dt} = \alpha (W - M) \quad (2)$$

$\frac{dy}{dt}$  = ritmo de perforación  
 $dt$

$W$  = peso sobre barrena

$M$  = Peso sobre barrena mínimo para iniciar la perforación

Estas relaciones son ilustradas en la Fig. 2. Por conveniencia todos los pesos sobre barrena, y por lo tanto todos los valores de  $M$ , se expresan en miles de libras.

### 1.3.2 - Efecto de la velocidad de rotación sobre el ritmo de perforación

El ritmo de perforación se incrementa a medida que la velocidad de

rotación se aumenta. La relación es no lineal, o sea que a velocidades de rotación altas, un incremento en ésta tiene menor efecto sobre el ritmo de perforación que un incremento igual a una velocidad de rotación menor. La relación entre el ritmo de perforación y la velocidad de rotación está dada por<sup>4,5</sup>

$$\frac{dY}{dt} \propto N^\lambda \quad (3)$$

donde:

$N$  = Velocidad de rotación, rpm

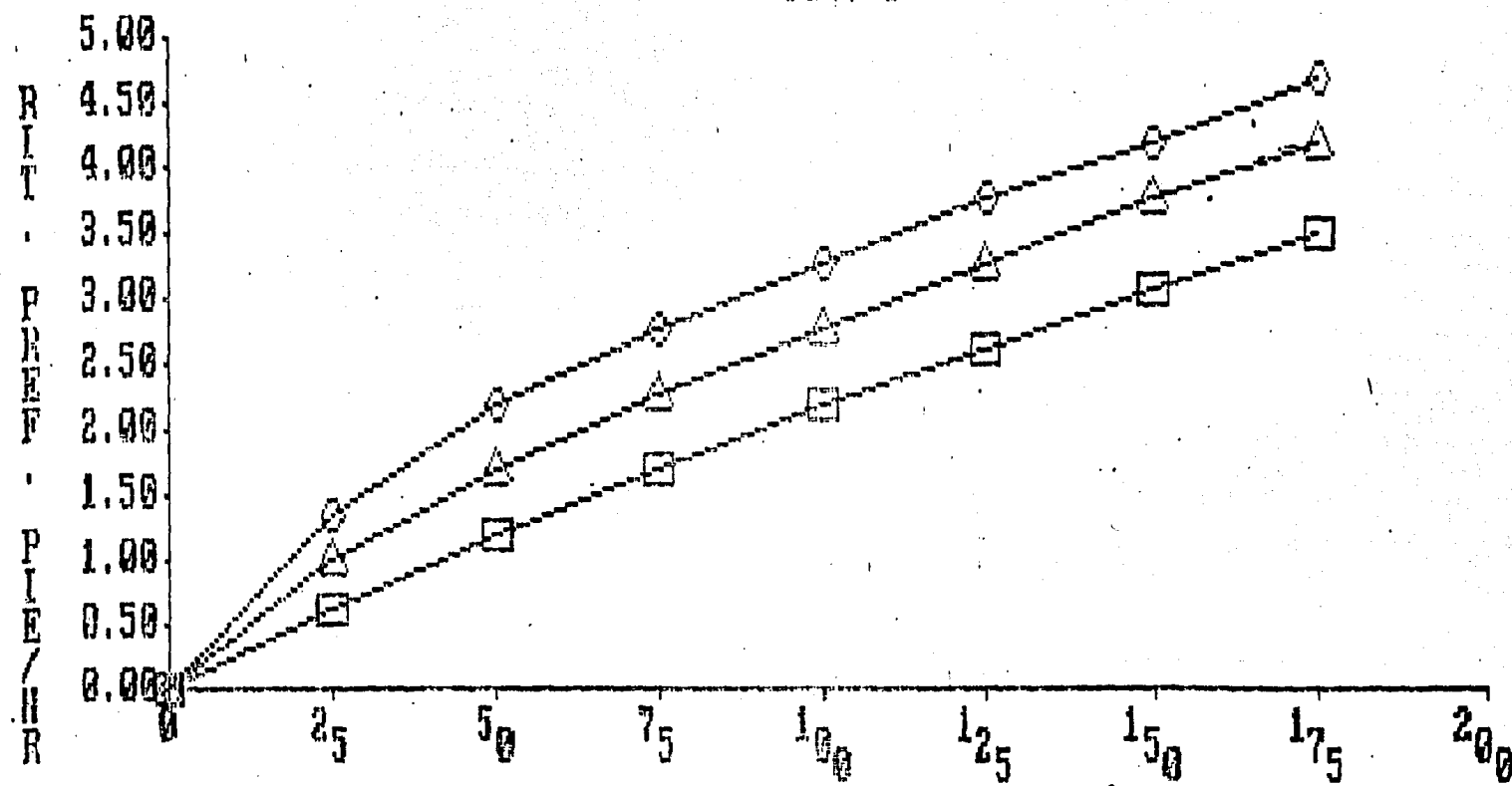
$\lambda$  = Exponente que expresa el efecto de la velocidad de rotación sobre el ritmo de perforación

Pruebas de campo han demostrado<sup>6</sup> que el exponente  $\lambda$  está influenciado por el peso sobre barrenos. En general, pesos sobre barrena bajos dan como resultado valores más altos de  $\lambda$  que los obtenidos con los pesos sobre barrena altos. La fórmula que se presenta aquí no toma en cuenta esta observación. Esta interrelación se discutirá en la sección concerniente a la determinación de parámetros a partir de datos de campo. La Fig. 3 ilustra la relación general entre ritmo de perforación y velocidad de rotación.

### 1.3.3 Efecto del desgaste del diente sobre el ritmo de perforación

Para un peso sobre barrena y velocidad de rotación dada, una barrena nueva perfora más rápidamente que una barrena usada. Sin embargo, la deficiencia en ritmo de perforación, es no lineal;

FIG. 3



VELOCIDAD DE ROTACION

$\square \lambda = .85 \quad W=30$   $\triangle \lambda = .70 \quad W=45$   $\diamond \lambda = .55 \quad W=60$

esto quiere decir que la disminución en el ritmo de perforación es mucho más rápida en las primeras etapas de desgaste del diente que cuando éste empieza a desgastarse significativamente.

Esta condición general está contenida en la ecuación que relaciona el desgaste del diente con el ritmo de perforación, en la que  $H$  está normalizada; esto significa que  $H=0$  para una barrena nueva y  $H=1$  para una barrena totalmente gastada. Matemáticamente esta relación es,

$$\frac{dY}{dT} \propto \frac{1}{(1 + C_2 H)} \quad (4)$$

donde:

$H$  = Desgaste del diente normalizado, ( $H=1$ , para un diente totalmente gastado,  $H=0$  para un diente nuevo)

$C_2$  = Constante que expresa el efecto de desgaste del diente de la barrena sobre la velocidad de rotación, establecida mediante datos de campo.

El requerimiento de que  $C_2$  sea establecido mediante los datos de campo, obedece a que generalmente se requiere un diente nuevo para perforar lutitas suaves, mientras un diente gastado perfora fácilmente las arenas. Además, el valor de  $C_2$  está influenciado indirectamente por el tipo de barrena. Una Auto Afilable tendrá un valor de  $C_2$  diferente al de una de Crestas Planas, aún cuando ambas estén perforando la misma formación.

Las ecuaciones 2, 3 y 4 describen el efecto del peso sobre barrena, velocidad de rotación y el desgaste del diente sobre el

ritmo de perforación. Esto es:

$$\frac{dY}{dT} \propto (W - M), N^{\lambda}, \frac{1}{(1 + C_2 H)} \quad (5)$$

Una sola constante K, definida como la capacidad de perforación de la formación, permite escribir la ecuación de la forma:

$$\frac{dY}{dT} = K \frac{(W - M) N^{\lambda}}{(1 + C_2 H)} \quad (6)$$

Es importante notar que el valor real de K es solamente un factor de escala que no tiene influencia en el cambio relativo del ritmo de perforación. Cuando se hacen cambios en el peso sobre barrenas, velocidad de rotación o las condiciones del diente, K solamente significa que un peso sobre barrenas y velocidad de rotación dadas perforan algunas formaciones más rápido que otras.

#### 1.4 DESGASTE DE LA BARRENA

Las relaciones concernientes al efecto del peso sobre la barrena y velocidad de rotación sobre el desgaste del diente y desgaste del balero, fueron obtenidas principalmente a partir de las referencias<sup>7,8</sup> y de investigaciones de la Cia. Hughes Tool. Las

siguientes ecuaciones se basan en las interpretaciones de información hechas por dicha Cia.

#### 1.4.1 Efecto de la velocidad de rotación sobre el desgaste de la barrena

El ritmo de desgaste de los dientes de la barrena se incrementan con un aumento en la velocidad de rotación. Además, el tipo de barrena es importante por dos razones: (1) el cono de una de barrena para formación suave hará más revoluciones por revolución de la sarta que el de una barrena para formación dura, y (2) el desgaste del diente para una formación suave resulta ser más rápido que el desgaste en una formación dura. Combinaciones de estos efectos dan una relación general que es mostrada en la Fig. 4 y se describen matemáticamente como:

$$\frac{dH}{dT} \propto (P N + Q N^3) \quad (7)$$

donde:

$\frac{dH}{dT}$

= ritmo de desgaste del diente

$dT$

$N$  = velocidad de rotación

$P, Q$  = constantes determinadas para cada tipo de barrena

#### 1.4.2 Efecto del peso sobre barrena sobre el desgaste del diente

El ritmo del desgaste del diente se incrementa con un aumento del peso sobre barrena. Esta relación es no lineal, ya que este ritmo

BIL - PERE - ELEMENTOS

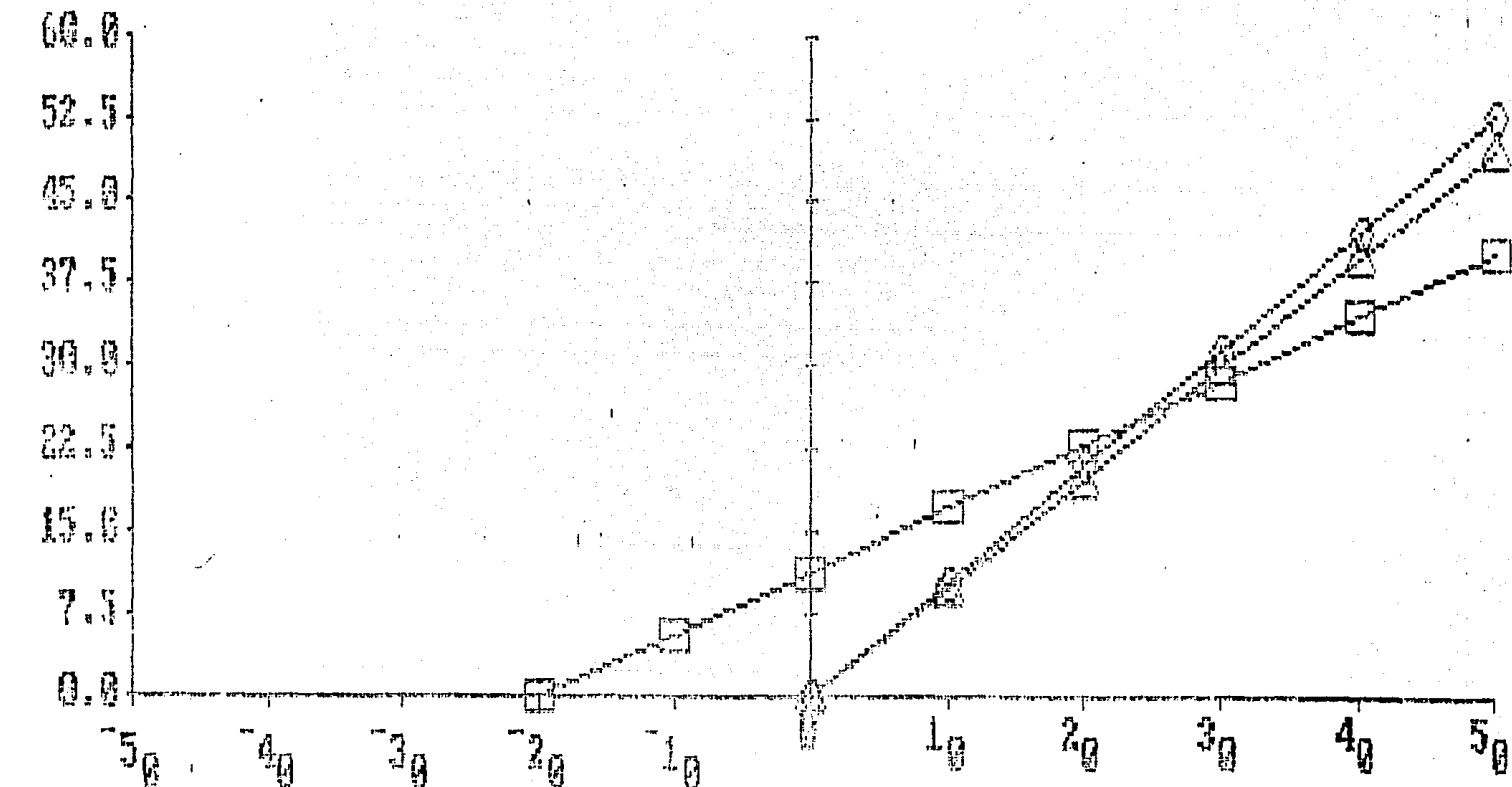


FIG. 4

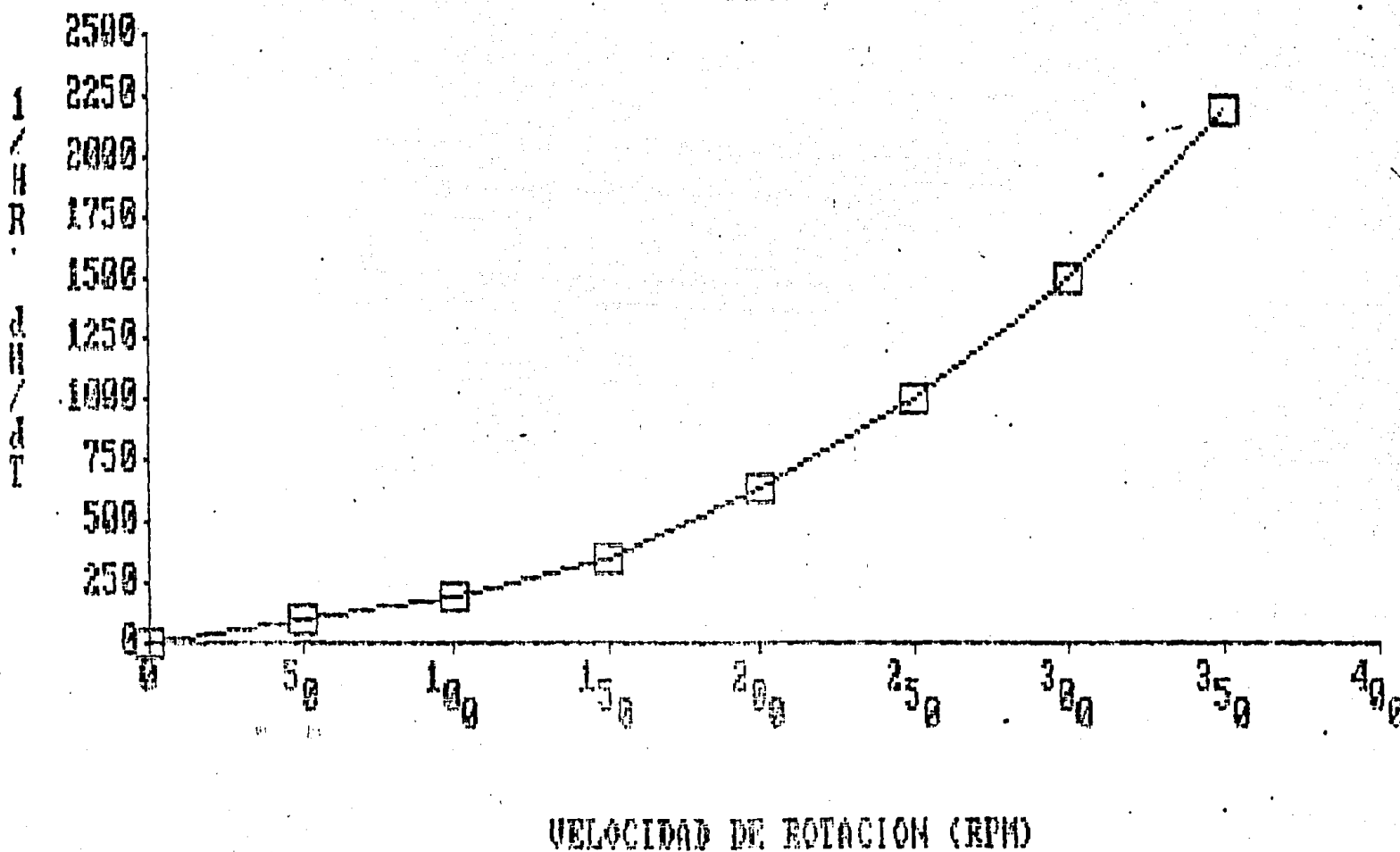
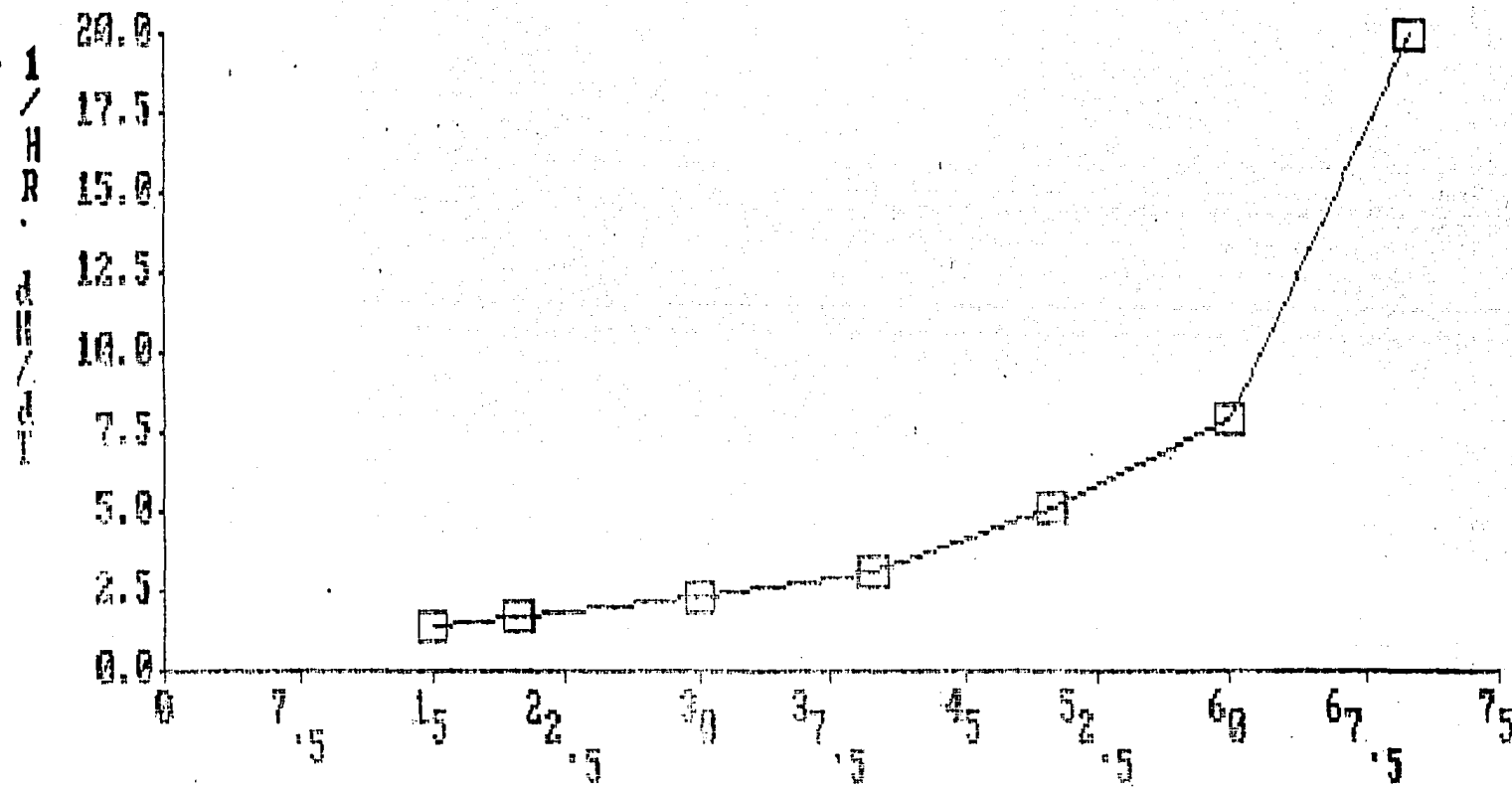


FIG. 5



PESO SOBRE BARRERA, (1000 LBS)

de desgaste se incrementa más rápidamente con pesos sobre barrenas altos. Esto obedece al hecho de que a partir de un peso determinado la barrena empieza a tener un desgaste excesivamente rápido, y finalmente, se destruye a un peso mayor. La Fig. 5 muestra esta relación. Matemáticamente se expresa como:

$$\frac{dH}{dT} = \alpha \frac{1}{(-D_1 W + D_2)} \quad (8)$$

En esta expresión las constantes  $D_1$  y  $D_2$  dependen del diámetro de la barrena, y fueron determinados experimentalmente considerando un peso sobre barrena de destrucción de  $10000 \text{ lb/in}^2$ .

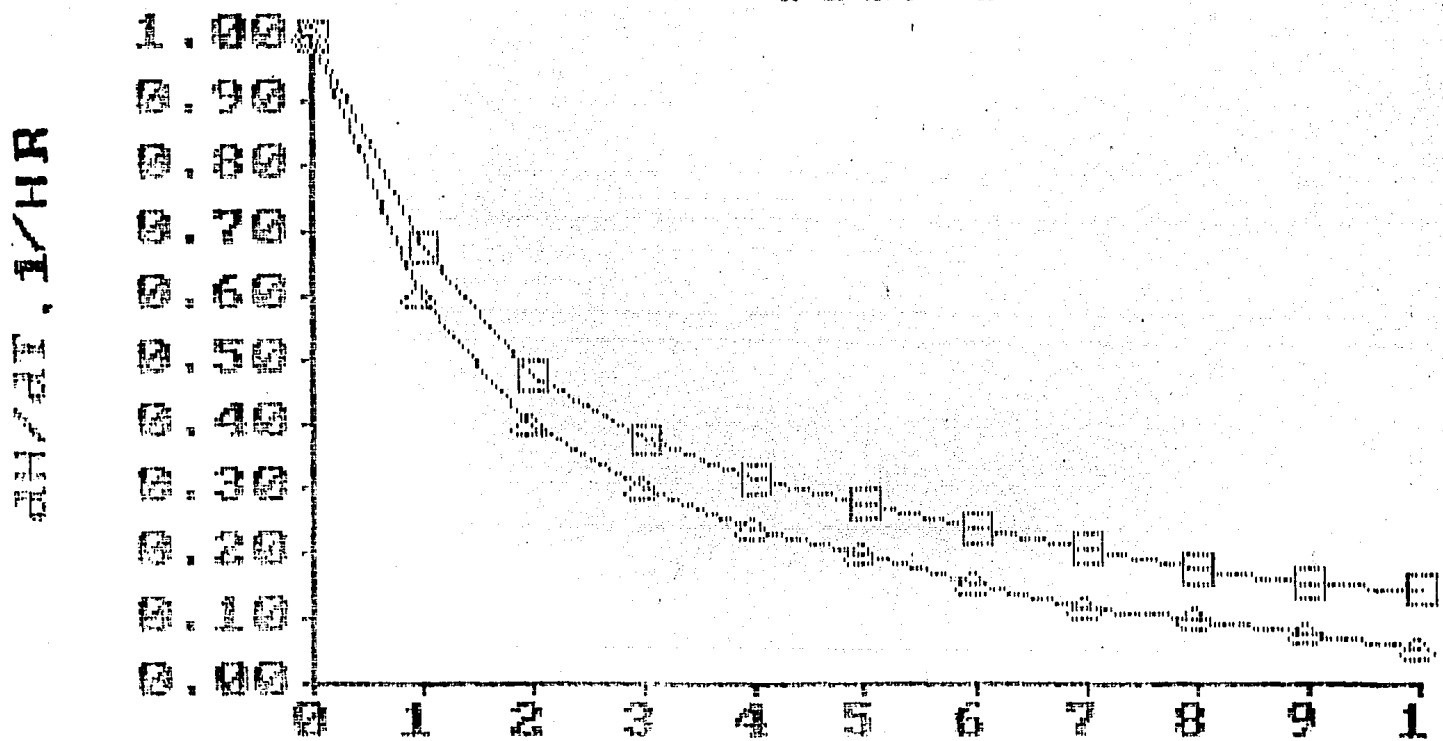
#### 1.4.3 Efecto del tamaño del diente (desgastado) sobre su velocidad de desgaste

El ritmo al cual los dientes de la barrena se desgastan decrece a medida que se va desgastando el diente. La forma del diente para un desgaste progresivo se manifiesta siempre en un crecimiento del área expuesta a la formación. Además, para un peso sobre barrena y velocidad de rotación dada, el desgaste de un diente nuevo es mayor que para un diente gastado.

La diferencia en el ritmo de desgaste entre una barrena para formación dura y otra para formación suave se presenta en la Fig. 6.

La forma del diente refleja la cantidad de carburo de tungsteno sobre el diente y la extensión del tratamiento térmico. La relación es:

FIG. 6



RIT. DE DECIMOSTE DEL DIENTE  
■ Calls      ● AHT/Hr

$$\frac{dH}{dT} = \alpha \frac{1}{(1 + C_1 H)} \quad (9)$$

donde  $C_1$  está relacionada con el tipo de barrena ( Ver Tabla 1.).

Las ecuaciones (7), (8) y (9) son combinadas con una constante de proporcionalidad para escribir el ritmo de desgaste sobre el diente.

$$\frac{dH}{dT} = A_f \frac{(F N + Q N^3)}{(-D_1 W + D_2)(1 + C_1 H)} \quad (10)$$

La constante de proporcionalidad  $A_f$ , está definida como el factor de abrasividad de la formación, ( Ver 2.3 pag. 20 )

La ecuación (10) se transforma en:

$$\frac{dH}{dT} = A_f \frac{(F N + Q N^3)}{(-D_1 W + D_2)(1 + C_1 H)} * 10^{-3} \quad (11)$$

donde:

$$\frac{dH}{dT} = \text{ritmo de desgaste del diente}$$

$A_f$  = factor de abrasividad de la formación

$H$  = altura normalizada del diente,  $H=1$  para un diente totalmente gastado, y  $H=0$  para un diente nuevo

$W$  = peso sobre barrena , 1000 lb

$N$  = velocidad de rotación, rpm

$D_1, D_2$  = constantes dependientes del diámetro de barrena

$P, Q, C_1$  = constantes dependientes del tipo de barrena

Nota: Ver solución en el apéndice B.

#### 1.4.4 Efecto del peso sobre barrena en la vida del balero

El ritmo de desgaste del bálero se incrementa rápidamente con el aumento en el peso sobre barrenas. La relación es no lineal, como lo describe la Fig. 7, y es expresado como:

$$\frac{dB}{dT} \propto \frac{W^s}{W} \quad (12)$$

donde:

$$\frac{dB}{dT} = \text{ritmo de desgaste del bálero}$$
$$W = \text{peso sobre barrena, 1000 lbs}$$

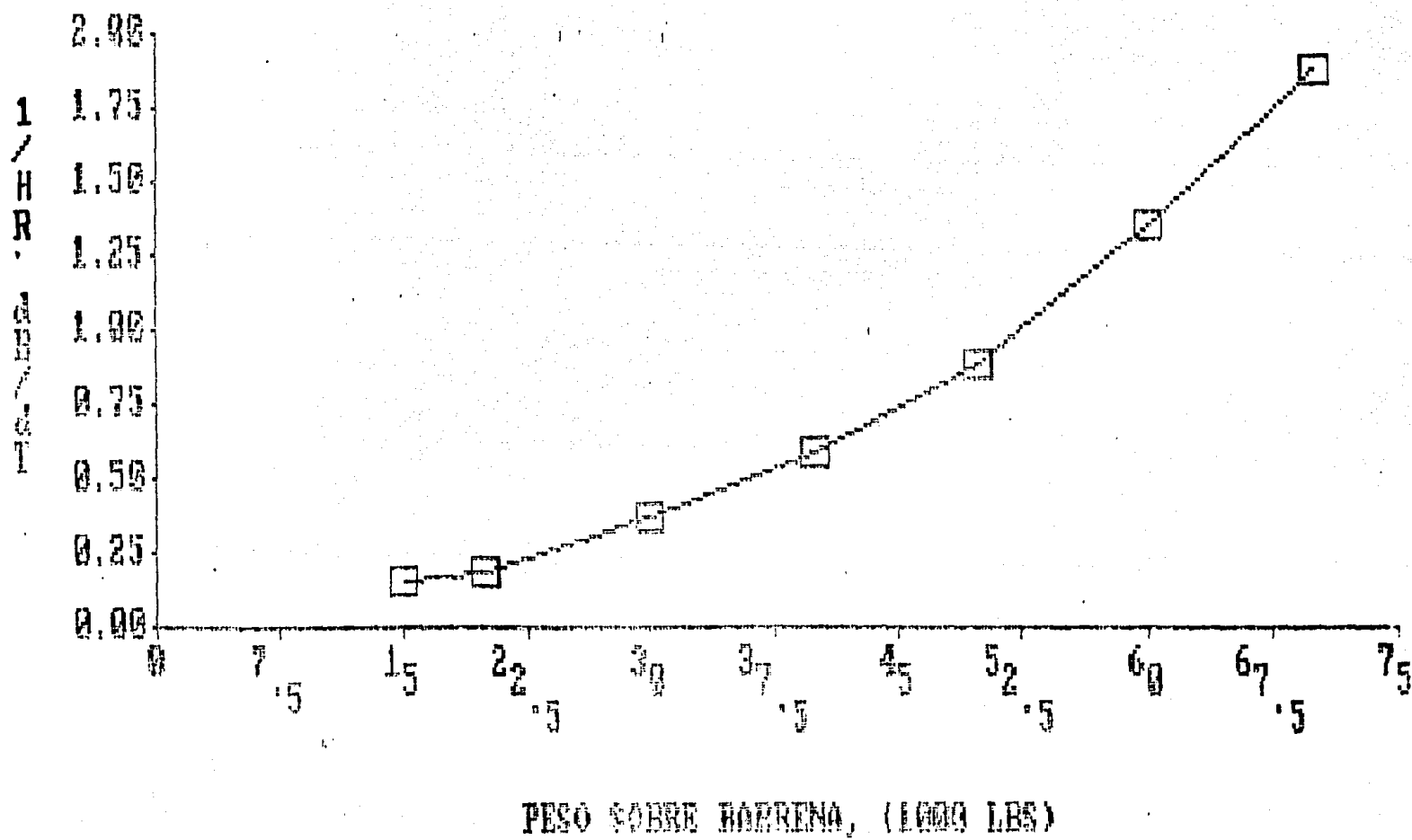
El valor de  $s = 1.5$  ha sido determinado experimentalmente en perforaciones anteriores.<sup>8</sup>

#### 1.4.5 Efecto de la velocidad de rotación sobre la vida del balero

Datos presentados<sup>4</sup> indican que los báleros son capaces de soportar un cierto número de vueltas, indiferentemente de la velocidad de rotación. Por lo tanto, el ritmo de desgaste del bálero se incrementa directamente con el aumento de la velocidad de rotación, y se expresa como:

$$\frac{dB}{dT} \propto N \quad (13)$$

FIG. 7



Las combinaciones de las ecuaciones (12) y (13) describen el ritmo de desgaste de los baleros de la barrenas como una función del peso sobre barrenas y la velocidad de rotación.

$$\frac{dB}{dT} = \frac{1}{b} N W^{1.5} \quad (14)$$

integrandos

$$b = \frac{N W^{1.5} T_r}{B} \quad (14a)$$

donde:

$$\frac{dB}{dT} = \text{ritmo de desgaste del balero}$$
$$\frac{d}{dT}$$

B = desgaste normalizado del balero, B=0 para una balero nuevo y B=1 cuando no tiene vida útil

N = velocidad de rotación, rpm

W = peso sobre barrenas, 1000 lbs

b = constante del balero

T<sub>r</sub> = tiempo de rotación

La magnitud de la constante de balero b, está influenciada por el lodo de perforación, particularmente por el contenido de sólidos, por el tratamiento químico del lodo, diámetro y tipo de barrenas. El incremento de la constante del balero b, con el diámetro de la barrenas es proporcional al cuadrado de este.

Todas las relaciones requeridas para obtener la ecuación de mínimo costo han sido hasta ahora desarrolladas. Las ecuaciones del (2) al (14a) describen el efecto del peso sobre barrenas y velocidad de rotación sobre el ritmo de perforación y la vida de la barrenas.

## 2. DETERMINACIÓN DE LOS PARAMETROS A PARTIR DE DATOS DE CAMPO

### 2.1 Determinación de M, λ, y K (Prueba de 5 punto)

Los parámetros M, λ, y K los cuales describen la respuesta del ritmo de perforación a cambios en el peso sobre barrenas y velocidad de rotación, pueden ser determinados por pruebas de perforación. Estas pruebas pueden variar en complejidad. En general, la cantidad de datos requeridos para calcular M, λ, y K confiablemente, depende de la obtención de ritmos de perforación factibles para varias combinaciones de peso sobre barrenas y velocidad de rotación. Esto significa que la variedad de formación controlará la complejidad de las pruebas de perforación requeridas para determinar estos parámetros.

El peso sobre barrenas mínimo para iniciar la perforación M, es calculado a partir de una prueba de cinco puntos usando la siguiente ecuación. (Ver apéndice A).

$$M = .50(W_2-R_2(W_2-W_5)/(R_2-R_5)+W_3-R_3(W_3-W_4)/(R_3-R_4)) \quad (15)$$

El exponente de velocidad de rotación λ, es el calculado por la siguiente ecuación.

$$\lambda = .50 (\ln(R_3/R_2)/\ln(N_7/N_2) + \ln(R_4/R_5)/\ln(N_4/N_5)) \quad (16)$$

El factor de perforabilidad de la formación K, se calcule para

cada punto de la prueba y se obtiene un valor promedio usando la siguiente ecuación.

$$K = .25(R_2 ((W_2-M)N_2^\lambda)) + (R_3 ((W_3-M)N_3^\lambda)) + (R_4 ((W_4-M)N_4^\lambda)) + (R_5 ((W_5-M)N_5^\lambda)) \quad (17)$$

Las pruebas de cinco puntos se realizan para determinar los valores de  $R_1$  a  $R_6$ . Los resultados de una prueba se muestran en la Fig. 8 y también se enlistan en un ejemplo. Si de los resultados de las cinco pruebas de perforación,  $R_1$  y  $R_6$  (que fueron corridas con el mismo peso y la misma velocidad de rotación) concuerdan dentro de un 15% de error, los resultados de la prueba se consideran aceptables. Si la diferencia es mayor al 15%, es posible que durante la prueba haya ocurrido un cambio litológico y deberá repetirse la prueba. Si la litología es demasiado errática para obtener una prueba válida, entonces  $M$  puede ser supuesta o tomada de pruebas anteriores del área.

Ejemplo. Los siguientes datos se obtuvieron en una prueba de cinco puntos en formación de lutita. Diámetro de barrena 9 7/8 pulg.

Punto	Peso sobre barrena (1000 lbs)	velocidad de rotación (rpm)	ritmo de perforación(pie/hr)
1	55	110	26.2
2	50	75	20.0
3	50	150	34.0
4	60	150	40.1

5	60	75	24.6
6	55	110	25.0

Aplicando las ecuaciones 15, 16 y 17 Los valores de M,  $\lambda$ , y K obtenidos de esta prueba son:

$$M = 392$$

$$\lambda = .735$$

$$K = 1.7 \times 10^{-5}$$

## 2.2 Determinación de $C_2$

El parámetro  $C_2$ , el cual describe la declinación en el ritmo de perforación con el desgaste del diente, podría ser determinado de los rendimientos de barrenas utilizadas previamente (registros de barrenas).

En su forma más simple, pueden obtenerse de los datos de una barrena a peso y velocidad de rotación constantes, mediante la comparación de la longitud perforada a la primera mitad de la vida útil de la barrena. La segunda información requerida es el estado del diente, ya que solamente el valor inicial y final de desgaste del diente son conocidos para una barrena en particular; es necesario estimar la condición promedio durante las respectivas mitades del recorrido de la barrena. La suposición que se hace es que el diente no se desgasta linealmente con el tiempo, entonces el desgaste del diente es  $1/4$  de H durante la primera mitad y  $3/4$  de H durante la segunda mitad, donde H es el estado del diente.

cuando la barrena se saca.

Ahora, la ecuación de ritmo de perforación (6) puede ser escrita como:

$$\frac{dY}{dT} = K \frac{(W - M) N^{\lambda}}{(1 + C_2 H)} \quad (18)$$

Separando variables en la ecuación 18 e Integrando sobre un intervalo desde el tiempo 0 al tiempo  $T_i$  cuando el peso sobre barrena y velocidad de rotación se mantienen constantes se obtiene,

$$Y_1 = K \frac{(W_1 - M) N_1^{\lambda}}{(1 + C_2 H)} T_i \quad (19)$$

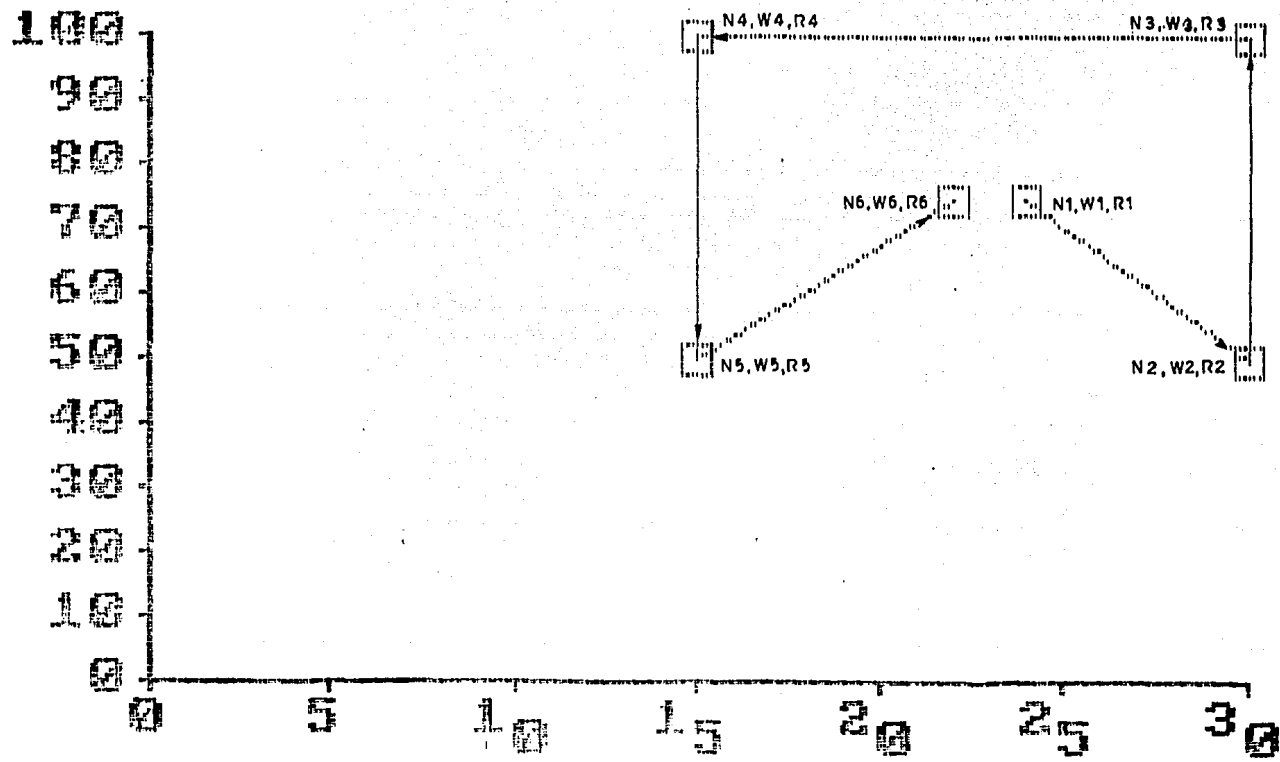
Como el peso sobre barrena y la velocidad de rotación fueron constantes durante el tiempo 0 a  $T_i$  la longuitud perforada por la barrena fue medida cada en mitad, entonces de la ecuación (19) despejamos  $C_2$

$$C_2 = \frac{(Y_1 - Y_2)}{H(.75Y_2 - .25Y_1)} \quad (20)$$

donde:

$C_2$  = Constante que expresa la magnitud de la reducción del ritmo de perforación respecto al desgaste del diente

INVESTIGACIONES DE



PESO SOBRE BARRERA. (1000 LBS)  
FIG. 3

$Y_1$  = Longitud perforada en la primera mitad, pies

$Y_2$  = longitud perforada en la segunda mitad, pies

Ejemplo: barrena tipo 111 diámetro 9 7/8 pulg, perforó 212 pies en 14.5 hrs con un peso de 40000 lbs y 100 rpm. Para la primera 7:25 hrs perforó 130 pies. la condición del desgaste del diente fue 5/8

$$C_2 = \frac{(130 - 82)}{5/8(.75*82 - .25*130)}$$

$$C_2 = 2.65$$

### 2.3 Parámetros de desgaste del diente

Con excepción del factor de abrasividad,  $A_f$ , todos los parámetros, los cuales aparecen en la ecuación (11) de desgaste del diente, son funciones del tipo y diámetro de la barrena<sup>9</sup>. La Tabla 1 enlista los valores de los parámetros para los tipos de barrenas comúnmente usados en el campo.

Se tendrá un valor de  $A_f$  para cada peso sobre barrena y velocidad de rotación.

Si un valor exacto de  $A_f$  es requerido, puede calcularse integrando la ecuación (11) entre los límites de desgaste de diente desde  $H_i$  a  $H_{i+1}$ . Las variables con subíndice i, son calculadas en un intervalo con un peso sobre barrena y velocidad de rotación constantes .

$$A_f = \frac{10^3(-D_1 W + D_2)}{(P N_i + Q N_i)} \frac{\int_{H_i}^{H_f} (1 + C_1 H) dH}{\int_{T_i}^{T_f} dT} \quad (21)$$

Integrando

$$A_f = \frac{10^3(-D_1 W + D_2)}{(P N_i + Q N_i)} \frac{((H_{i+1} - H_i) + C_1/2(H_{i+1}^2 - H_i^2))}{(T_{i+1} - T_i)} \quad (21a)$$

Note que los valores del numerador y denominador podrían ser evaluados para cada peso sobre barrena y velocidad de rotación.

Si el peso sobre barrena y velocidad de rotación son constantes para todo el recorrido de la barrena, entonces

$$H_{i+1} = H$$

$$H_i = 0$$

$$T_{i+1} = T_r$$

$$T_i = 0$$

Si el peso sobre barrena y velocidad de rotación son constantes Sustituyendo en la ecuación (21a)

$$A_f = \frac{10^3(-D_1 W + D_2)}{(P N + Q N^3)} \frac{(H_f + C_1/2 H_f^2)}{T_r} \quad (21b)$$

Los valores de los parámetros P, Q, D<sub>1</sub>, D<sub>2</sub> y C<sub>1</sub> se encuentran en la Tabla 1 para todas las barrenas.

Ejemplo: barrena tipo 114, diámetro de barrena 9 7/8, W=40, N=100, T=14.5 y H=5/8.

$$A_f = \frac{103 \cdot (3.84) [(5/8) + 7/2 (25/64)]}{(356) \cdot 14.5}$$

$$A_f = 1.48$$

#### 2.4 Constante del balero

La ecuación -(14a) describe el efecto del peso sobre barrena y velocidad de rotación sobre la constante del balero. Hay dos valores adicionales los cuales influencian la constante del balero: el tipo de barrena y la composición del fluido de perforación.

Ejemplo. Para una barrena tipo 114, W = 40, N = 100, B = 7/8 y T=14.5

$$b = \frac{(100) \cdot (40)^{1.5} \cdot (14.5)}{7/8}$$

$$b = 420000$$

Si el peso sobre barrena y la velocidad de rotación cambian durante el recorrido, entonces b es calculado por:

$$b = \frac{\sum_{i=1}^n M_i w_i^{1.5} T_i}{\sum_{i=1}^n B_i} \quad (23)$$

Donde  $T_i$  es intervalo de tiempo,  $N_i$  y  $W_i$  son constantes.

Todos los parámetros necesarios para un programa de mínimo costo por pie perforado, ya han sido determinados. El capítulo 5 describe el procedimiento del programa y los tipos de condiciones de perforación que deben ser considerados. Cada tipo de condiciones de perforación conducen a diferentes soluciones para la ecuación de mínimo costo.

## 2.5 Error en la medición de parámetros

Una serie de cálculos han sido hechos para ilustrar la sensibilidad de los costos de perforación calculados respecto a parámetros medidos en el campo.

Los valores de 0, .65 y 2.5 son asignados a  $M$ ,  $\lambda$  y  $C_2$  respectivamente, como las características físicas que exhibirán las rocas. Los resultados de pesos sobre barrenas y velocidad de rotación programados, los cuales fueron calculados con parámetros erróneos, son usados para calcular la longitud perforada. El costo por pie perforado es entonces calculado y comparado con el costo que resultaría si las características verdaderas fueran usadas.

Las figuras 9, 10 y 11 muestran la sensibilidad del costo para errores en los parámetros  $M$ ,  $\lambda$  y  $C_2$ . Una falla del balero

FIG. 9

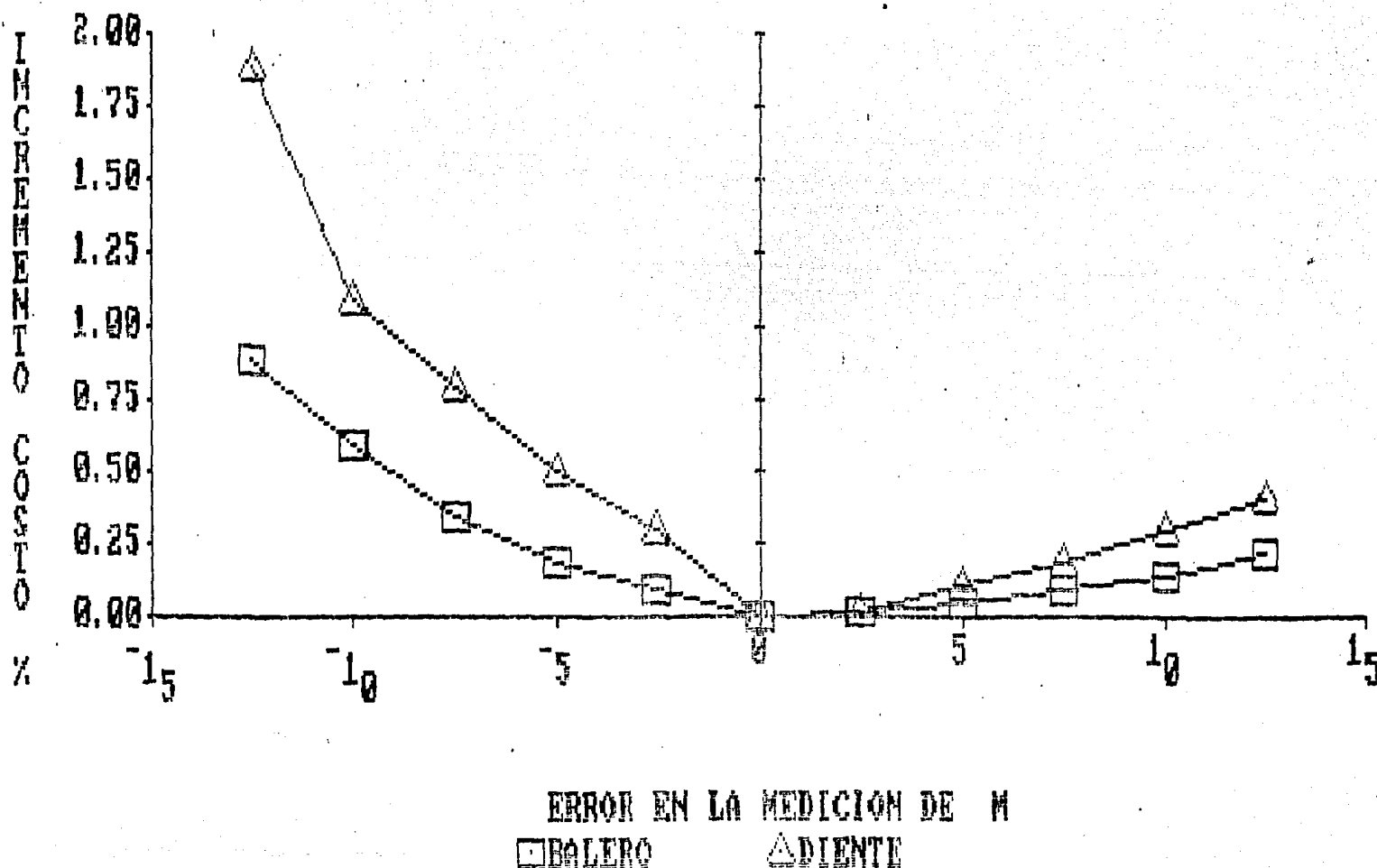
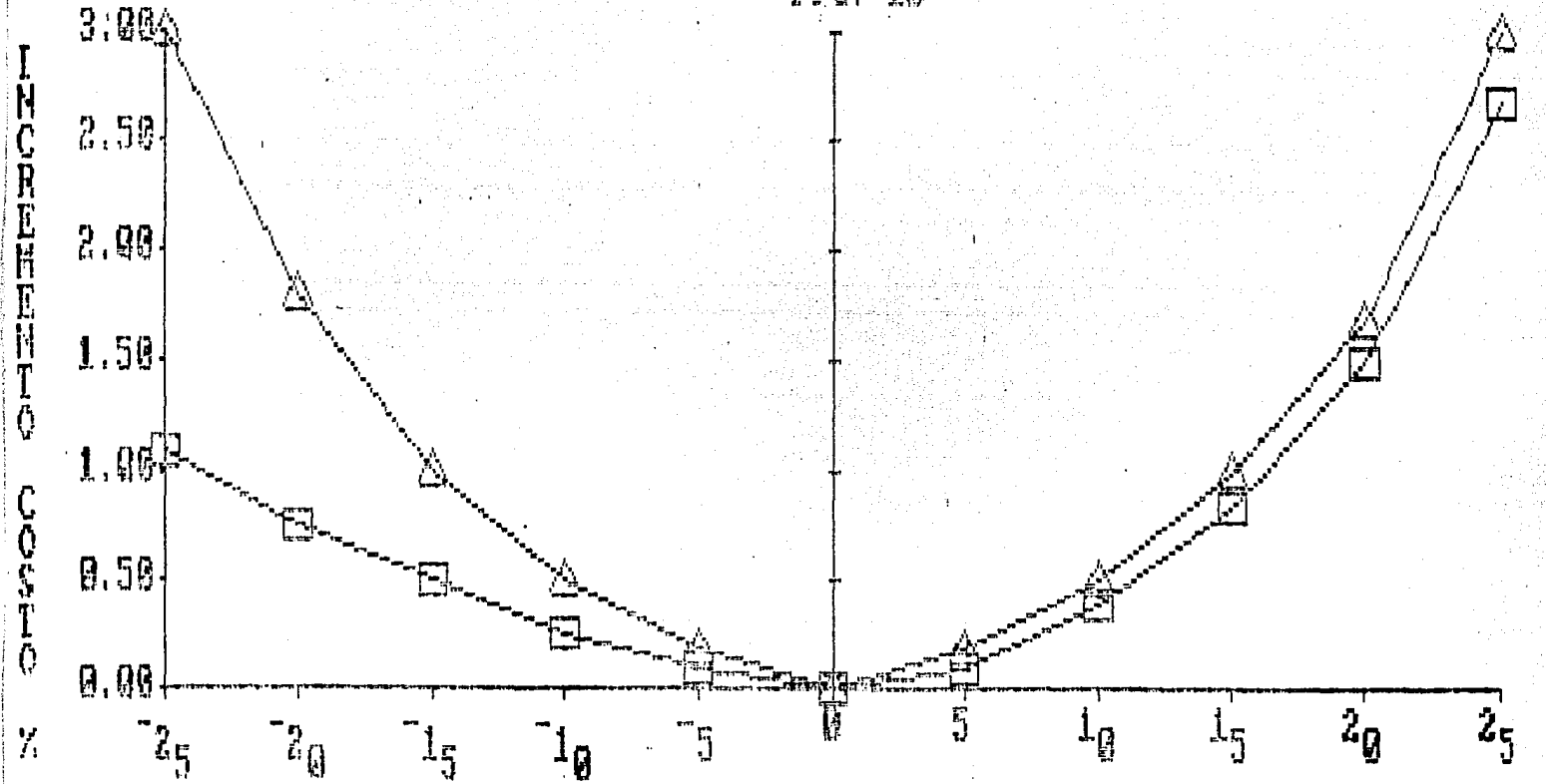
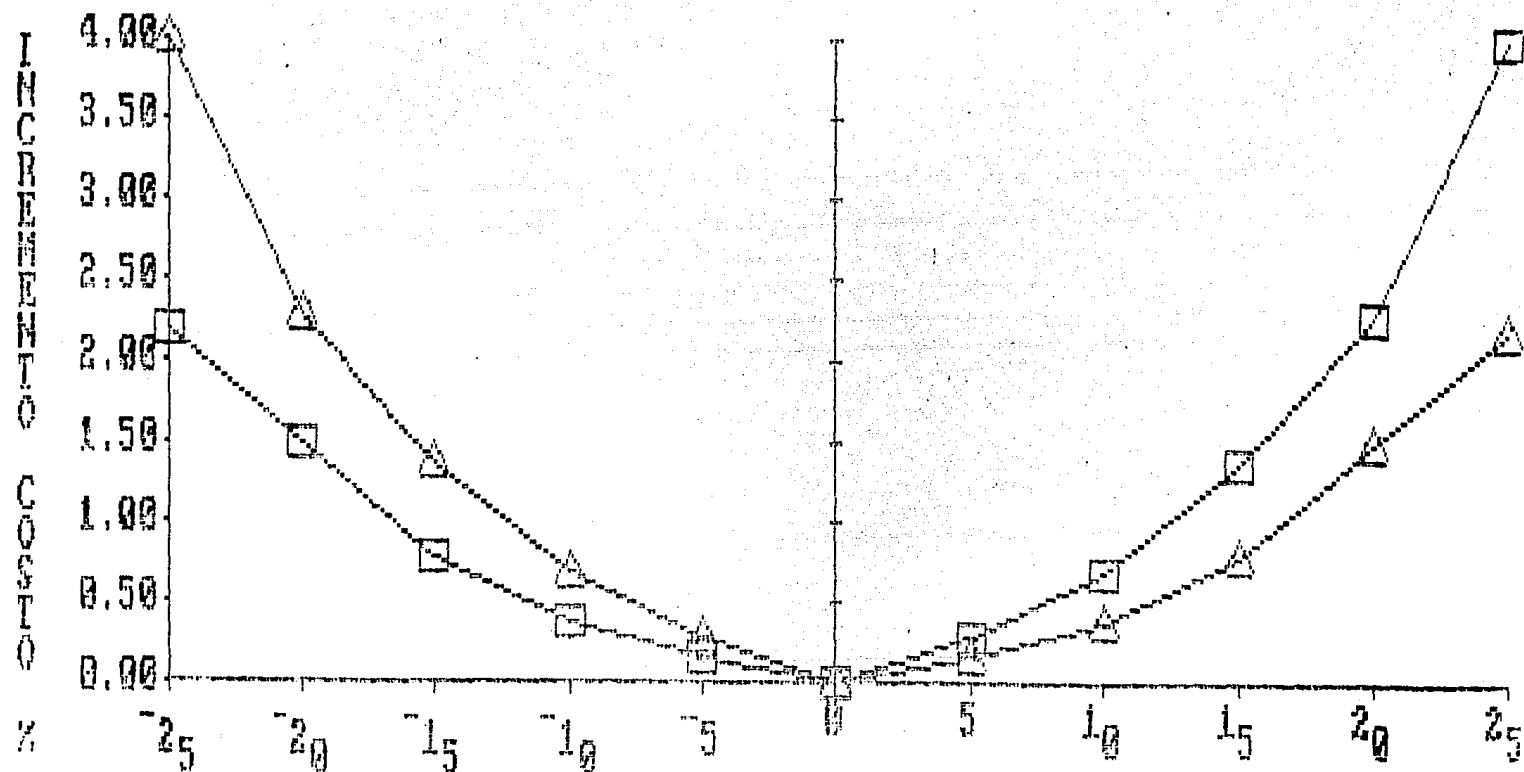


FIG. 10



ERROR EN LA MEDICION DE  $\lambda$   
■ BALERO      ▲ PIENTE

FIG. 11



ERROR EN LA MEDICIÓN DE C2  
■ BOLERO      ▲ DILENTE

( $A_f=1.5$ ) y una falla de diente ( $A_f=6.0$ ) son mostradas para cada parámetro.

## 2.6 Consideraciones teóricas

La perforación a mínimo costo por pie perforado requiere una evaluación cuantitativa de las variables involucradas. Varias formas de modelos matemáticos han sido sugeridos.<sup>10,11</sup> Las relaciones reportadas aquí, son la solución básica programada en este trabajo.

Una solución para el costo mínimo por pie perforado considera un peso sobre barrenas y velocidad de rotación constante durante la vida útil de la barrena. Esta solución está sujeta a ciertas limitaciones,<sup>10</sup> tales como:

1. El costo por pie perforado es la suma del costo de barrenas, el costo de vige y el costo de operación.
2. Las barrenas de incrustaciones son excluidas.
3. La vida de la barrena está limitada tanto por la falla del balero como por el desgaste del diente.
4. La hidráulica es adecuada y no limita el ritmo de perforación.
5. Las consideraciones de peso sobre barrenas excluyen la

desviación del pozo.

6. El ritmo de perforación es solamente una función del peso sobre barrena, velocidad de rotación y del desgaste del diente; esto es, el efecto de presión es ignorado.

### 3. HIDRAULICA

La utilización óptima de la potencia de bombeo del lodo es de significativa importancia en las operaciones de perforación rotatoria. Un entendimiento de la energía consumida por los componentes del equipo y su evaluación analítica son fundamentales para el uso óptimo de tal potencia disponible.

La potencia hidráulica está generalmente asociada con el uso de barrenas de toberas. El propósito de las toberas es el de mejorar la acción de limpieza del fluido de perforación en el fondo del agujero. Antes de que las barrenas de toberas fueran introducidas, los recortes de la barrena no eran removidos eficientemente, y la mayor parte de la vida de la barrena era consumida por la pulverización de los recortes ya perforados. Investigadores tales como Lummus<sup>12</sup> y Kendall<sup>13</sup>, han concluido que la mejor acción de limpieza es obtenida cuando la potencia hidráulica en la barrena es máxima.

La determinación de los diámetros apropiados de las toberas es uno de los aspectos más importante que deben atender el personal técnico de perforación.

Un incremento significativo en el ritmo de perforación puede ser logrado a través de una apropiada selección de las toberas.

En formaciones con presiones de poros normales, cuando se observa un incremento en el ritmo de perforación, se debe principalmente a un mejoramiento de limpieza en el fondo del agujero. La pulverización de los recortes ya perforados puede prevenirse si el fluido que circula a través de la barrenia remueve los recortes al momento en que estos son perforados.

La verdadera optimización de la hidráulica en la barrenia no podrá ser llevada a cabo completamente, hasta que se desarrollen relaciones matemáticas exactas que definen el efecto de la hidráulica sobre:

1. ritmo de perforación
2. costo de operación
3. desgaste de barrenia
4. problemas potenciales como la limpieza en el agujero
5. capacidad de acarreo del fluido de perforación.

Actualmente todavía no existe acuerdo total acerca de que parámetros de la hidráulica podrían ser usados para indicar la magnitud de su acción de limpieza.

Sim embargo, los parámetros más comúnmente usados para el diseño de la hidráulica son :

1. potencia hidráulica en la barrenia
2. fuerza de impacto

### 3. velocidad en las toberas

#### 3.1 Efecto de la hidráulica

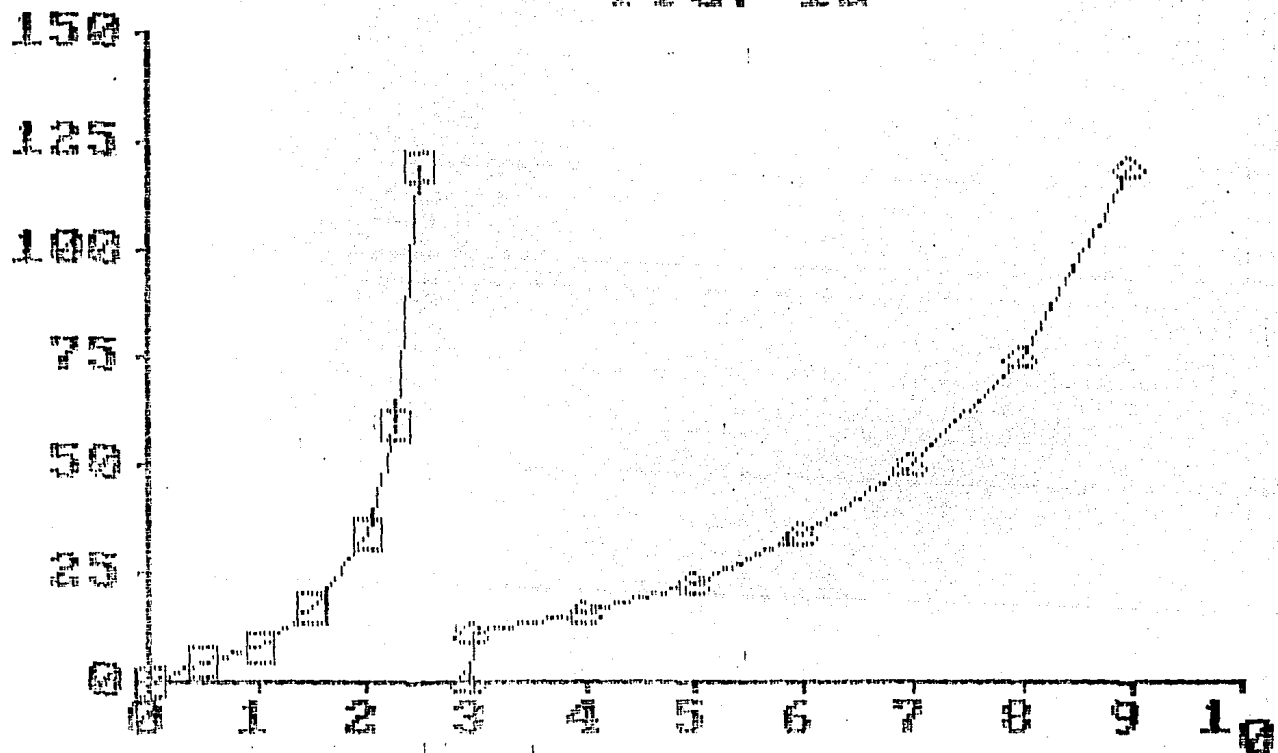
En general se ha aceptado que un gasto suficiente de lodo es necesario para la limpieza de la barrena y que la velocidad en las toberas es necesaria para liberar los recortes de la roca "atrapados" por la diferencial de presión en el fondo del agujero. Y esta velocidad en las toberas tiene un mayor efecto sobre el ritmo de perforación que el gasto por si solo<sup>14</sup>. Sin embargo, para un diámetro de agujero dado, hay un rango limitado de gastos que pueden ser usado para la limpieza del agujero, por lo tanto, la velocidad en las toberas para un diámetro de agujero dado depende de la potencia hidráulica consumida en la limpieza del fondo del agujero. Una relación del ritmo de perforación vs la energía hidráulica en el fondo ( $hhp/pulg^2$ ), puede desarrollarse para varias formaciones, desde muy suave hasta muy dura. Tal relación ha sido desarrollada a partir de análisis de datos de campos y es mostrada en la Fig. 12.

Esta gráfica puede ser usada para estimar el efecto relativo en el ritmo de perforación por cambios en las condiciones de la hidráulica en el fondo del agujero.

Sin embargo, el efecto de ritmo de perforación vs la potencia hidráulica no es suficiente para la optimización, ya que el concepto básico es el de optimizar el costo, y ésto no necesariamente significa un incremento el ritmo de perforación.

第三章、玉環、CPIE/HFR

FIG. 12



HFR/Bulg. & 2

○ Hidra, min. ● Hidra, max.

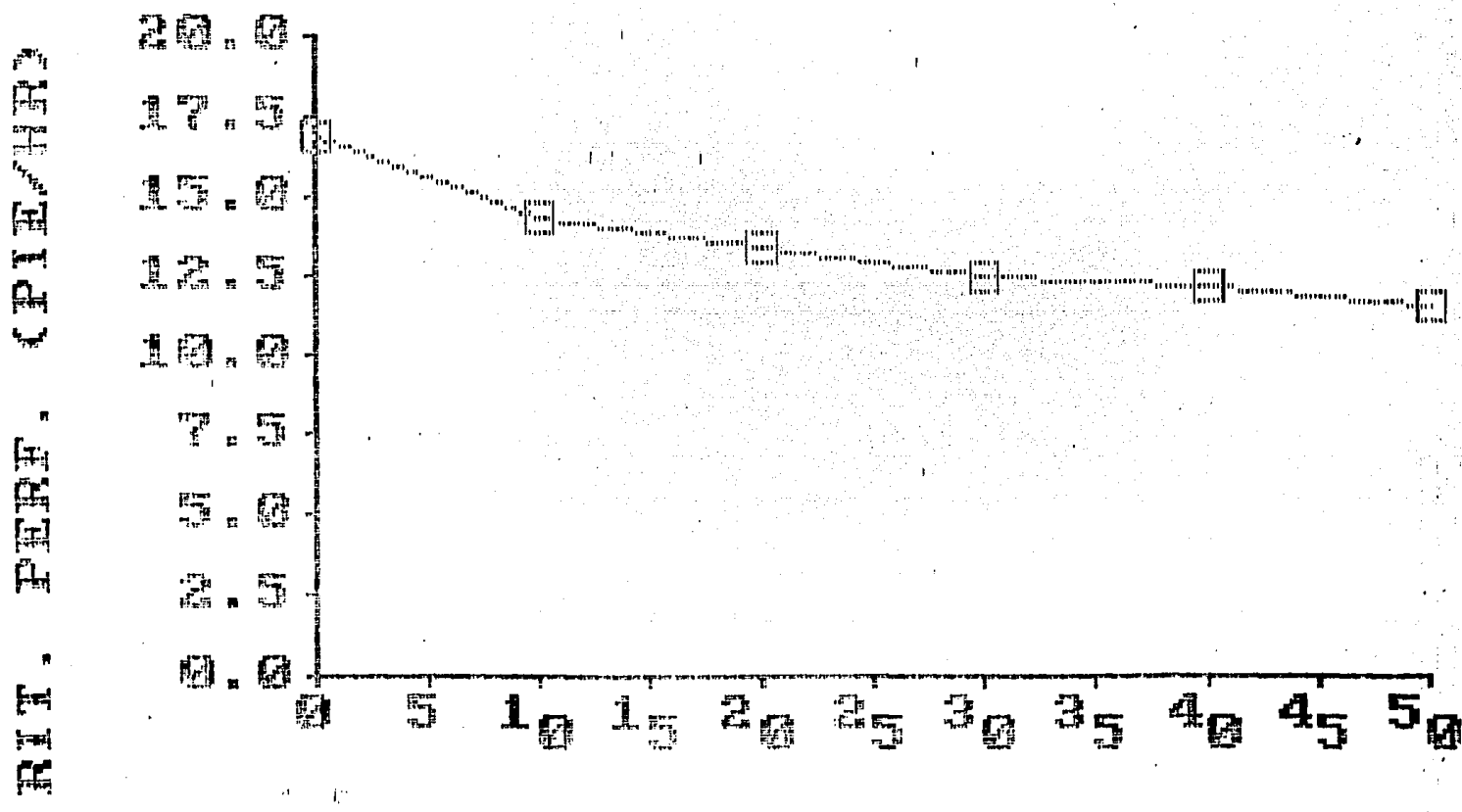
### **3.2 interacciones entre la hidráulica y el lodo**

Los efectos combinados del lodo y la hidráulica serán examinados. La Fig. 13 muestra la relación entre el ritmo de perforación y la viscosidad, se nota que el ritmo de perforación disminuye con respecto a la viscosidad, debido a que la viscosidad probablemente afecta la limpieza en la barrena. Pruebas adicionales fueron hechas, donde la hidráulica era ajustada para eliminar el embolamiento de la barrena, y se encontró que la reducción en el ritmo de perforación ocurre aún cuando la barrena sea perfectamente limpia.

Los mecanismos más importantes que afectan la perforación en el agujero son:

1. el efecto de la hidráulica insuficiente, la cual causa una limpieza incompleta.
2. el efecto que los sólidos del lodo tienen en la perforación, causado por la interacción roca-barrena durante la fractura de la formación.
3. el efecto de la presión diferencial que tiende a mantener los recortes perforados en el fondo.

FIG. 12



VISCOOSIDAD PLASTICA, CP

### 3.3 Procedimiento para el cálculo de la potencia hidráulica en la barrenada

A continuación se presenta una combinación de ecuaciones muy exactas y otras de carácter empírico pero de comprobada eficiencia. La mayor defensa de este método es su funcionamiento. En varios casos ésto puede sugerir menores presiones de bomba y consumo de combustible para el equipo que otros métodos.

1. Seleccione el gasto, para el diámetro de barrenada y ritmo de perforación calculado. Verificando que éste dentro de los límites señalados por Randall<sup>14</sup>.

$$Q_{\min} = 30 \cdot D_b \quad (23)$$

$$Q_{\max} = 50 \cdot D_b \quad (23a)$$

dónde:

$Q_{\min}$  = Gasto mínimo, gal/min

$Q_{\max}$  = Gasto máximo, gal/min

$D_b$  = Diámetro de barrenada, pulg.

2. Calcular la caída de presión total, dentro y fuera de la sarta de perforación, con el gasto seleccionado anteriormente, para este cálculo se utilizaron dos modelos reológicos. El modelo de Bingham (en flujo turbulento) y el modelo ley de potencia (en flujo laminar). Estas caídas de presión incluyen:

- a. pérdidas de presión en superficie (ver Tabla 2)
- b. pérdidas de presión en tuberías de perforación (ver Tabla 3)
- c. pérdidas de presión en lastrebarrenas (ver Tabla 3)
- d. pérdidas de presión en el espacio anular (ver Tabla 4)

3. Calcule la presión requerida a través de las toberas para una máxima potencia en la barrena de la siguiente forma.

Si  $R_p \geq 12$  pie/hr

$$HF_{\min} = (R_p/11.792) \cdot 48426 \cdot I_b^2 \quad (24)$$

$$HF_{\max} = (R_p/166897) \cdot 43735 \cdot D_b^2 \quad (24a)$$

$$HF = (HF_{\min} + HF_{\max})/2 \quad (25)$$

Si  $R_p < 12$  pie/hr

$$HF_{\min} = (R_p/11.792) \cdot 48426 \cdot D_b^2 \quad (26)$$

$$HF_{\max} = 3 \cdot I_b^2 \quad (26a)$$

$$HF = (HF_{\min} + HF_{\max})/2 \quad (27)$$

donde:

$HF_{\min}$  = potencia mínima requerida en la barrena,  $hhp/pulg.^2$

$HP_{max}$  = potencia máxima requerida en la barrena, hhp/pulg.<sup>2</sup>

$R_p$  = ritmo de perforación para un costo mínimo, pie/hr

$HPP$  = potencia requerida, Hpp/pulg.<sup>2</sup>

Las ecuaciones 24 a 27 fueron obtenidas apartir de correlaciones publicadas en el trabajo de lummus<sup>12</sup>.

4. Calcule la presión necesaria en la barrena, para producir la potencia requerida.

$$P_b = \frac{1714 \text{ HPP}}{Q_s} \quad (28)$$

donde:

$P_b$  = presión en la barrena, psi

$Q_s$  = gasto seleccionado va de  $Q_{min}$  a  $Q_{max}$ , gal/min.

5. Sume las pérdidas totales de presión incluyendo la caída de presión en la toberas.

Si la caída total de presión es menor que el límite de presión superficial entonces las condiciones anteriores son las óptimas.

Si las caídas de presión son mayores que el límite de presión superficial, entonces vuelva al punto 1 e incremente el gasto y haga nuevamente los cálculos.

6. Cálculo para el arreglo de toberas

### Arreglo de 3 toberas

$$J_3 = 2.042 * Q_s * (M/F_b)^{.5} \quad (29)$$

### Arreglo de 2 toberas

$$J_2 = 2.501 * Q_s * (M/F_b)^{.5} \quad (29a)$$

donde:

$J_3$  = diámetro de tobera en 1/32 de pulg.

$J_2$  = diámetro de tobera en 1/32 de pulg.

M = densidad del lodo, lbs/gal.

F<sub>b</sub> = presión en la barrenera, psi

Q<sub>s</sub> = gasto seleccionado, gal/min

### 7. Velocidad en las toberas

$$V_j = 418.3 * Q_s / (J_1^2 + J_2^2 + J_3^2) \quad (30)$$

donde

V<sub>j</sub> = velocidad en las toberas, pie/seg

### 8. Cálculo de la velocidad anular

$$V_a = 24.51 * Q_s * (D_b^2 - D_p^2) \quad (31)$$

donde:

V<sub>a</sub> = velocidad anular, pie/seg.

D<sub>p</sub> = diámetro de tubería de perforación, pulg.

#### 4 METODOLOGIA DEL PROGRAMA

Una forma de aplicación de las ecuaciones anteriores para determinar el mínimo costo por pie perforado asociado con el peso sobre barrena y velocidad de rotación e hidráulica, se describe a continuación.

1. Determine los parámetros  $M$ ,  $\lambda$  y  $K$  a partir de la prueba de 5 puntos. Note que el valor de  $K$ , no es necesario para determinar los valores de peso sobre barrena y velocidad de rotación, pero es requerido para determinar el costo por pie perforado.
2. Elija el valor mínimo deseado de peso sobre barrena y velocidad de rotación, y resuelva la ecuación 14 para la vida de la barrena.
3. Determine el valor de  $H$  a partir de la forma integral de la ecuación 11. (si  $H \leq 1.0$ , el tiempo de rotación está gobernado por la solución de la ecuación 14, y la vida de la barrena está limitada por la vida de los baleros. Si  $H > 1.0$ , la vida de la barrena está gobernada por la vida de los dientes de la barrena).
4. Si  $H > 1.0$ , haga  $H=1$ , y resuelva la ecuación 11 para el tiempo de rotación.
5. Halle la longitud perforada a partir de la forma integral de la ecuación 6.

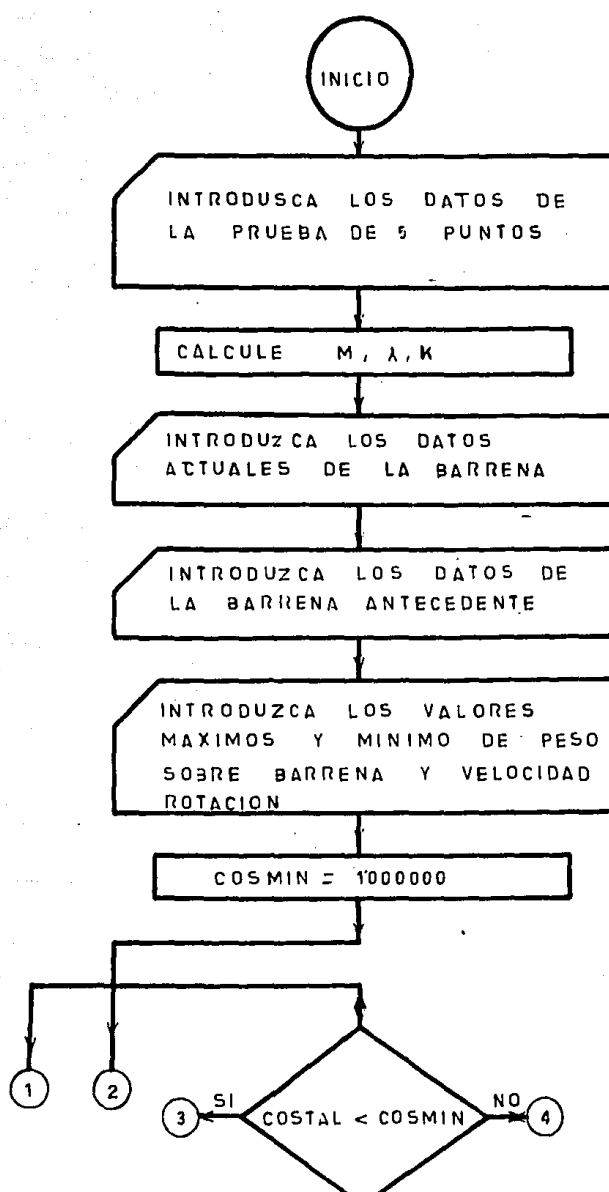
6. Resuelva la ecuación i para el costo por pie perforado, asociado con el peso sobre barrena y velocidad de rotación seleccionadas.

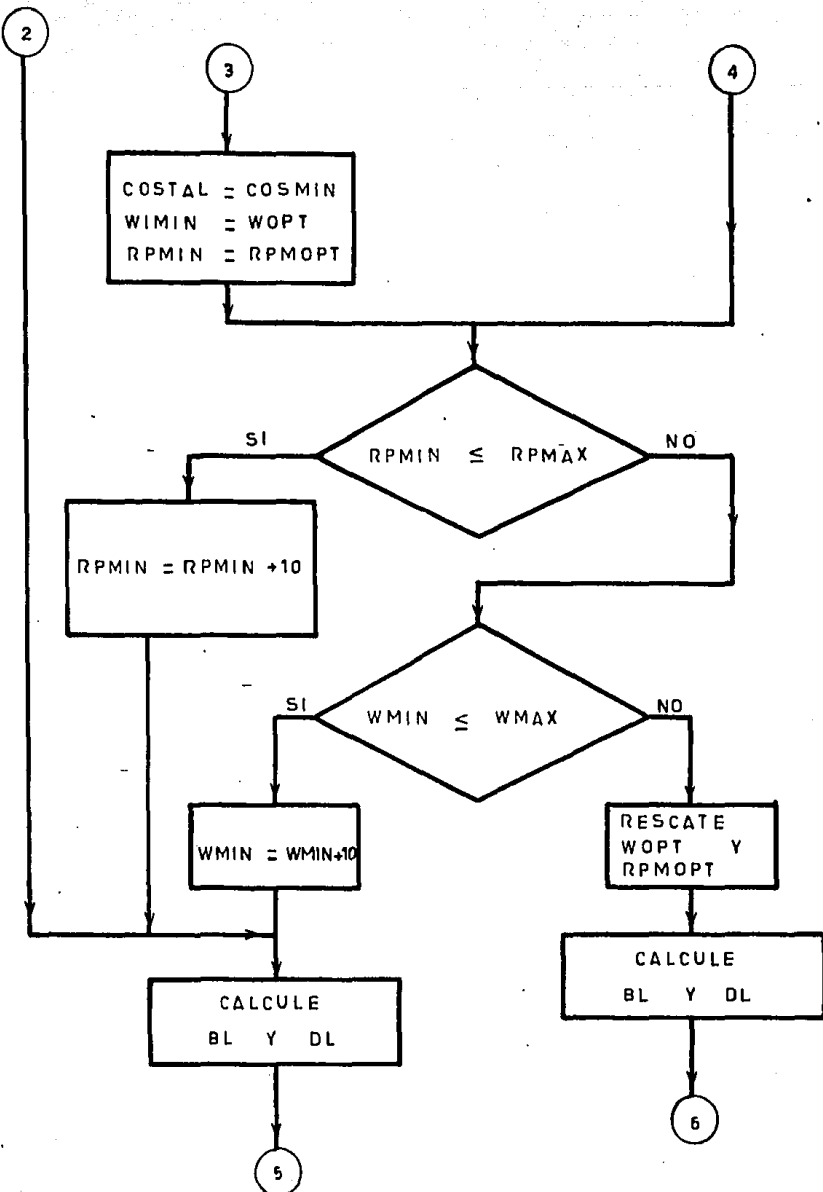
7. repita el paso 3 hasta el 6 para cada combinación de peso sobre barrena y velocidad de rotación disponible.

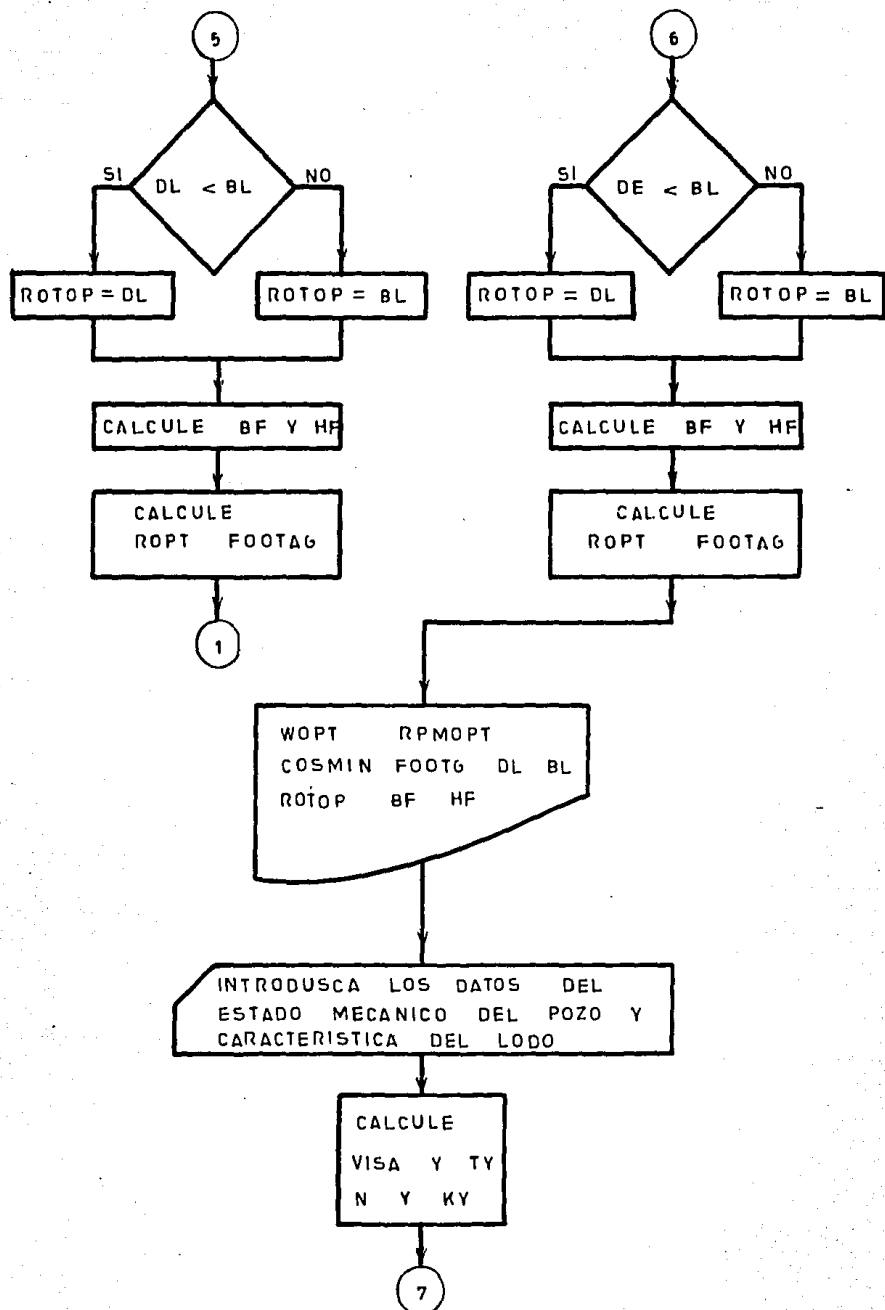
8. Para los arreglos acumulados de peso sobre barrena, velocidad de rotación y costo, encontrar el valor mínimo de la función de costo.

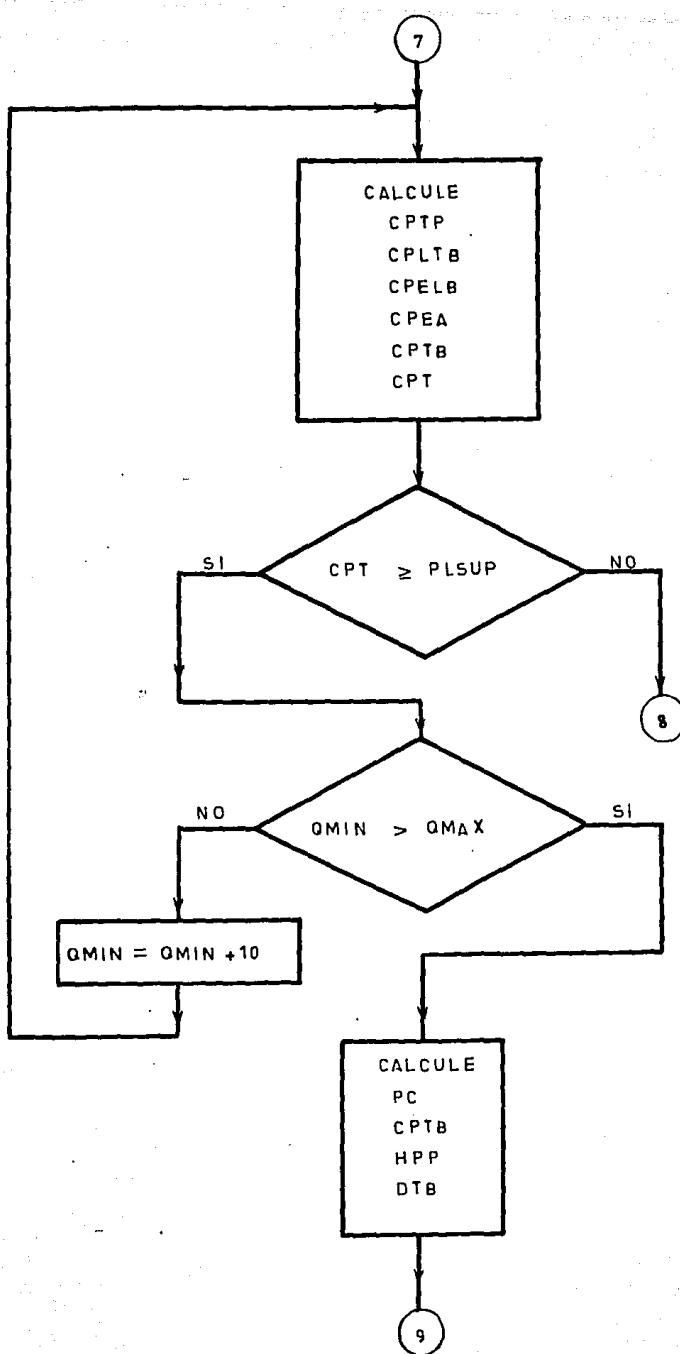
9. Siga el procedimiento para el cálculo de la potencia hidráulica de la barrena, descrito en la pág. 29

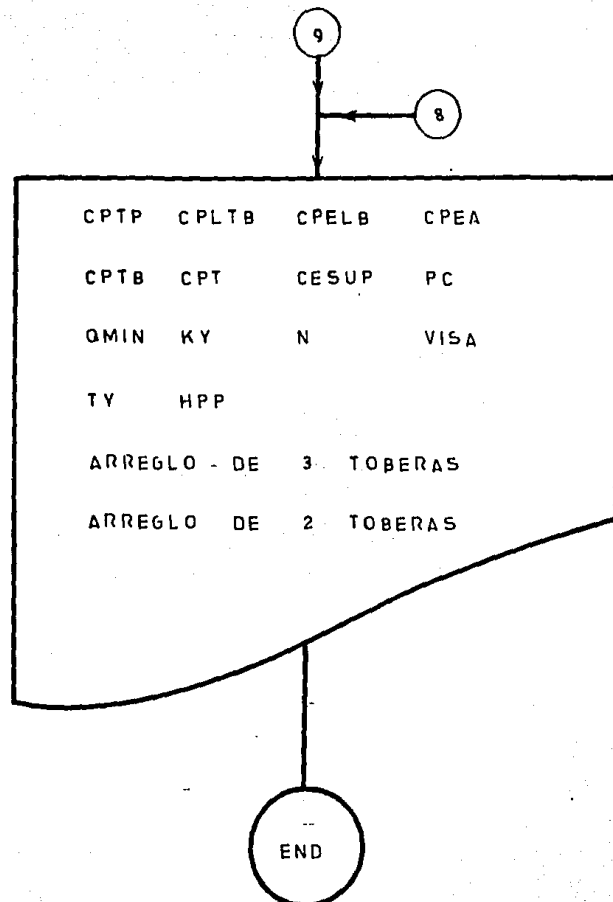
#### 4.1 DIAGRAMA DE FLUJO











#### 4.2 LISTADO

```

5 INPUT " SE DESEA IMPRESION DE DATOS Y RESULTADOS 1=SI - 2=NO ",IMPRE
10 PRINT "PROGRAMA PARA OPTIMIZAR PESO SOBRE BARRENA, VELOCIDAD DE ROTACION E HIDRAULICA"
15 PRINT
19 PRINT
20 PRINT TAB(20); "ELABORADO POR: JESUS OLAYA BENITEZ"
21 PRINT
22 PRINT
23 DEF FND(X)=INT(X*100+.5)/100
30 PRINT TAB(20); " DATOS PARA LA PRUEBA DE 5 PUNTOS" ;PRINT;PRINT;PRINT
31 IF IMPRE=2 THEN 40
32 LPRINT "PROGRAMA PARA OPTIMIZAR PESO SOBRE BARRENA, VELOCIDAD DE ROTACION E HIDRAULICA"
33 LPRINT:LPRINT
34 LPRINT TAB(20); "ELABORADO POR: JESUS OLAYA BENITEZ"
35 LPRINT:LPRINT:LPRINT
36 LPRINT TAB(20); " DATOS PARA LA PRUEBA DE 5 PUNTOS" ;LPRINT:LPRINT:LPRINT
40 INPUT " PESO SOBRE BARRENA EN EL PUNTO 2 EN Lbs ";W2
50 INPUT " VELOCIDAD DE ROTACION EN EL PUNTO 2 EN RPM ";N2
60 INPUT " RITMO DE PENETRACION EN EL PUNTO 2 EN PIE/HR ";R2
70 INPUT " PESO SOBRE BARRENA EN EL PUNTO 3 EN Lbs ";W3
80 INPUT " VELOCIDAD DE ROTACION EN EL PUNTO 3 EN RPM ";N3
90 INPUT " RITMO DE PENETRACION EN EL PUNTO 3 PIE/HR ";R3
100 INPUT " PESO SOBRE BARRENA EN EL PUNTO 4 EN Lbs ";W4
110 INPUT " VELOCIDAD DE ROTACION EN EL PUNTO 4 EN RPM ";N4
120 INPUT " RITMO DE PENETRACION EN EL PUNTO 4 EN PIE/HR ";R4
130 INPUT " PESO SOBRE BARRENA EN EL PUNTO 5 EN Lbs ";W5
140 INPUT " VELOCIDAD DE ROTACION EN EL PUNTO 5 EN RPM ";N5
150 INPUT " RITMO DE PENETRACION EN EL PUNTO 5 EN PIE/HR ";R5
151 IF IMPRE=2 THEN 168
152 LPRINT " PESO SOBRE BARRENA EN EL PUNTO 2           =";W2;"LB";
LPRINT "           =";FND(W2/2.2);"KG";L
PRINT
153 LPRINT " VELOCIDAD DE ROTACION EN EL PUNTO 2           =";N2;"RPM";LPRINT
154 LPRINT " RITMO DE PENETRACION EN EL PUNTO 2           =";R2;"PIE/HR";
LPRINT "           =";FND(R2/3.28);L
MT/HR":LPRINT
155 LPRINT " PESO SOBRE BARRENA EN EL PUNTO 3           =";W3;"LB";
LPRINT "           =";FND(W3/2.2);K
G":LPRINT
156 LPRINT " VELOCIDAD DE ROTACION EN EL PUNTO 3           =";N3;"RPM";LPRINT
157 LPRINT " RITMO DE PENETRACION EN EL PUNTO 3           =";R3;"PIE/HR";
LPRINT "           =";FND(R3/3.28);L
MT/HR":LPRINT
158 LPRINT " PESO SOBRE BARRENA EN EL PUNTO 4           =";W4;"LB";
LPRINT "           =";FND(W4/2.2);K
G":LPRINT
159 LPRINT " VELOCIDAD DE ROTACION EN EL PUNTO 4           =";N4;"RPM";LPRINT
160 LPRINT " RITMO DE PENETRACION EN EL PUNTO 4           =";R4;"PIE/HR";
LPRINT "           =";FND(R4/3.28);L
MT/HR":LPRINT
161 LPRINT " PESO SOBRE BARRENA EN EL PUNTO 5           =";W5;"LB";
LPRINT "           =";FND(W5/2.2);K
G":LPRINT

```

```

162 LPRINT " VELOCIDAD DE ROTACION EN EL PUNTO 5      =";NS;"RPM":LPRINT
163 LPRINT " RITMO DE PENETRACION EN EL PUNTO 5      =";RS;"PIE/HR":
164 LPRINT " MT/HR":LPRINT
165 M=.5*(W2-R2*(W2-W5)/(R2-R5)+W3-R3*(W3-W4)/(R3-R4))
166 Y=.5*(LOG(R3/R2)/LOG(N3/N2)+LOG(R4/R5)/LOG(N4/N5))
167 K=.25*((R2/((W2-M)*N2^Y))+(R3/((W3-M)*N3^Y))+(R4/((W4-M)*N4^Y))+(RS/((W5-M)*
168 N5^Y)))
169 PRINT
170 PRINT TAB(20); "RESULTADOS DE LA PRUEBA DE 5 PUNTOS"
171 PRINT
172 PRINT "M=";M
173 PRINT "Y=";Y
174 PRINT "K=";K
175 IF IMPRE=2 THEN 218
176 LPRINT
177 LPRINT TAB(20); "RESULTADOS DE LA PRUEBA DE 5 PUNTOS":LPRINT :LPRINT
178 LPRINT
179 LPRINT TAB(20); "DATOS ACTUALES DEL POZO"
180 PRINT
181 PRINT
182 INPUT "PROFUNDIDAD EN PIE = ";PROF
183 INPUT "COSTO DE OPERACION $ = ";COP
184 INPUT "TIEMPO DE VIAJE PIE/HR = ";TV
185 INPUT "TIEMPO DE CONEXION +REVISION HR/1000 PIE = ";TCS
186 INPUT "DIAMETRO DE BARRENA EN PUG = ";DB
187 INPUT "COSTO DE BERRENA $ = ";CDB
188 INPUT "CODIGO DE BARRENA = ";COD
189 PRINT
190 PRINT TAB(20) " DATOS INICIALES DE BARRENA"
191 PRINT
192 INPUT "PESO SOBRE BARRENA EN MILES DE LIBRAS = ";PSB
193 INPUT "VELOCIDAD DE ROTACION EN RPM = ";RPM
194 INPUT "TIEMPO DE ROTACION EN HR = ";ROT
195 INPUT "DESGASTE DEL DIENTE = ";CD
196 INPUT "DESGASTE DEL BALERO = ";CB
197 INPUT "RITMO DE PENETRACION INICIAL EN PIE/HR = ";ROFI
198 INPUT "RITMO DE PENETRACION PROMEDIO EN PIE/HR = ";ROFA
199 INPUT "LONGITUD PERFORADA EN PIE = ";PF
200 PRINT
201 PRINT TAB(20) " LIMITES DE OPERACION DE BARRENA":PRINT :PRINT
202 INPUT "PESO SOBRE BARRENA MAXIMO EN MILES DE LIBRAS = ";WMAX
203 INPUT "PESO SOBRE BARRENA MINIMO EN MILES DE LIBRAS = ";WMIN
204 INPUT "VELOCIDAD DE ROTACION MAXIMA EN RPM = ";RPMAX
205 INPUT "VELOCIDAD DE ROTACION MINIMA EN RPM = ";RPMIN
206 INPUT "CUANTO QUIERE QUE DURE EL DIENTE ";D
207 INPUT "CUANTO QUIERE QUE DURE EL BALERO ";OB
208 IF IMPRE=2 THEN 426
209 LPRINT

```

```

397 LPRINT TAB(20); "DATOS ACTUALES DEL POZO":LPRINT :LPRINT = ";PROF;"PIE":
398 LPRINT " PROFUNDIDAD = ";FND(PROF/3.28);"
LPRINT :
MT":LPRINT =
399 LPRINT "COSTO DE OPERACION = ";COP;"/$/DIA":LPR
INT =
400 LPRINT "TIEMPO DE VIAJE = ";TV;"PIE/HR":
LPRINT =
/HR":LPRINT =
401 LPRINT "TIEMPO DE CONEXION +REVISION = ";TCS;"HR/1000 PIE
":LPRINT =
LPRINT =
402 LPRINT "DIAMETRO DE BARRENA = ";DB;"PIG":
LPRINT =
":LPRINT =
403 LPRINT "COSTO DE BARRENA = ";$$";CDE:LPRINT
404 LPRINT "CODIGO DE BARRENA = ";COD.";COD:LPRIN
T =
405 LPRINT =
406 LPRINT TAB(20) " DATOS DE BARRENA ANTERIOR"
407 LPRINT :LPRINT =
408 LPRINT "PESO SOBRE BARRENA = ";PSB;"10^3 LB":
LPRINT =
409 LPRINT "VELOCIDAD DE ROTACION = ";RPM;"RPM":LPRINT
410 LPRINT "TIEMPO DE ROTACION = ";ROT;"HR":LPRINT
411 LPRINT "DESGASTE DEL DIENTE = ";CD:LPRINT
412 LPRINT "DESGASTE DEL BALERO = ";CB:LPRINT
413 LPRINT "RITMO DE PENETRACION INICIAL = ";ROPI;"PIE/HR":
LPRINT =
MT/HR":LPRINT =
414 LPRINT "RITMO DE PENETRACION PROMEDIO = ";ROPA;"PIE/HR":
LPRINT =
MT/HR":LPRINT =
415 LPRINT "LONGITUD PERFORADA = ";PF;"PIE":
LPRINT =
":LPRINT =
416 LPRINT =
417 LPRINT TAB(20)" LIMITES DE OPERACION DE BARRENA":LPRINT :LPRINT =
418 LPRINT "PESO SOBRE BARRENA MAXIMO = ";WMAX;"10^3 LB":
LPRINT =
419 LPRINT "PESO SOBRE BARRENA MINIMO = ";WMIN;"10^3 LB":
LPRINT =
420 LPRINT "VELOCIDAD DE ROTACION MAXIMA = ";RPMAX;"RPM":LPRI
NT =
421 LPRINT "VELOCIDAD DE ROTACION MINIMA = ";RPMIN;"RPM":LPRI
422 LPRINT "CUANTO QUIERE QUE DURE EL DIENTE = ";D:LPRINT
423 LPRINT "CUANTO QUIERE QUE DURE EL BALERO = ";OB:LPRINT
424 IF COD=111 THEN P=2.5 :Q=.000109 :C1=7 :GOTO 510
425 IF COD=112 THEN P=2.5 :Q=.000109 :C1=7 :GOTO 510
426 IF COD=113 THEN P=2.5 :Q=.000109 :C1=7 :GOTO 510
427 IF COD=114 THEN P=2.5 :Q=.000109 :C1=7 :GOTO 510
428 IF COD=121 THEN P=2! :Q=.000087 :C1=6 :GOTO 510
429 IF COD=122 THEN P=2! :Q=.000087 :C1=6 :GOTO 510
430 IF COD=123 THEN P=2! :Q=.000087 :C1=6 :GOTO 510
431 IF COD=124 THEN P=2! :Q=.000087 :C1=6 :GOTO 510
432 IF COD=125 THEN P=2! :Q=.000087 :C1=6 :GOTO 510

```

```

433 IF COD=124 THEN P=2! :Q=.000087 :C1=6 :GOTO 510
440 IF COD=131 THEN P=2! :Q=.000087 :C1=6 :GOTO 510
441 IF COD=132 THEN P=2! :Q=.000087 :C1=6 :GOTO 510
442 IF COD=133 THEN P=2! :Q=.000087 :C1=6 :GOTO 510
443 IF COD=134 THEN P=2! :Q=.000087 :C1=6 :GOTO 510
450 IF COD=211 THEN P=2.5 :Q=.0000653:C1=5 :GOTO 510
451 IF COD=212 THEN P=2.5 :Q=.0000653:C1=5 :GOTO 510
452 IF COD=213 THEN P=2.5 :Q=.0000653:C1=5 :GOTO 510
453 IF COD=214 THEN P=2.5 :Q=.0000653:C1=5 :GOTO 510
460 IF COD=221 THEN P=1.2 :Q=.0000522:C1=4 :GOTO 510
461 IF COD=222 THEN P=1.2 :Q=.0000522:C1=4 :GOTO 510
462 IF COD=223 THEN P=1.2 :Q=.0000522:C1=4 :GOTO 510
463 IF COD=224 THEN P=1.2 :Q=.0000522:C1=4 :GOTO 510
470 IF COD=231 THEN P=.9 :Q=.0000392:C1=3 :GOTO 510
471 IF COD=232 THEN P=.9 :Q=.0000392:C1=3 :GOTO 510
472 IF COD=233 THEN P=.9 :Q=.0000392:C1=3 :GOTO 510
473 IF COD=234 THEN P=.9 :Q=.0000392:C1=3 :GOTO 510
480 IF COD=311 THEN P=.65 :Q=.0000218:C1=2 :GOTO 510
481 IF COD=312 THEN P=.65 :Q=.0000218:C1=2 :GOTO 510
482 IF COD=313 THEN P=.65 :Q=.0000218:C1=2 :GOTO 510
483 IF COD=314 THEN P=.65 :Q=.0000218:C1=2 :GOTO 510
490 IF COD=321 THEN P=.5:Q=.0000218:C1=2 :GOTO 510
491 IF COD=322 THEN P=.5:Q=.0000218:C1=2 :GOTO 510
492 IF COD=323 THEN P=.5:Q=.0000218:C1=2 :GOTO 510
493 IF COD=324 THEN P=.5:Q=.0000218:C1=2 :GOTO 510
500 INPUT "P=",P
502 INPUT "Q=",Q
504 INPUT "C1=",C1
510 D1=.2708*DE^-6.207
520 D2=2.7057*DE^.3917
525 WMIN=WMIN
530 B=RPMIN*PSB^1.5*ROT*8/CB
540 AF=10^3*(-D1*PSB+D2)*(CD/8+C1/2*(CD/8)^2)/((P*RPM+Q*RFM^3)*ROT)
550 C2=(PF*,.61-PF*,.39)/(CD/8*(.75*PF*,.39-.25*PF*,.61))
558 COSTAL=(CDR+COP/24*(ROT+PROF/TU+PROF/1000*TCS))/PF
560 COSMIN=1000000!
570 BL=B*DE/((RPMIN*WMIN^1.5)*8)
580 H<-(-1+(1+2*C1*AF*10^-3*(P*RPMIN+Q*RFMIN^3)*ROT/(-D1*WMIN+D2))^1.5)/C1
590 IF H<=1*D/8 THEN ROT=BL:GOTO 620
595 HF=8
600 ROT=(-D1*WMIN+D2)*(1+C1/2)/((AF*(P*RPMIN+Q*RFMIN^3))*10^-3)
610 BF=RPMIN*WMIN^1.5*ROT*8/B:GOTO 630
620 HF=H*8
625 BF=RPMIN*WMIN^1.5*ROT*8/B
630 ROPF=K*(WMIN*1000-(M))*RPMIN ^Y/(1+C2*HF/B)
635 ROPK=K*(WMIN*1000-M)*RPMIN^Y
636 ROP=(ROPF+ROPK)/2
640 FOOTG=ROP*ROT
650 COSTAL=(CDR+COP/24*(ROT+PROF/TU+PROF/1000*TCS))/FOOTG
660 IF COSTAL>COSMIN THEN 700
670 COSTOP=COSTAL
680 WDPT=WMIN
690 RFMOPT=RPMIN
695 ROTOP=ROT
696 COSMIN=COSTAL
700 IF RPMIN<RPMAX THEN 730
705 IF RPMIN=RPMAX THEN 760

```

```

710 RPMIN=RPMIN+10
715 WMIN=WMEN
720 GOTO 570
730 IF WMIN>=WMAX THEN 710
740 WMIN=WMIN+5
750 GOTO 570
760 BL=R*W/(RPMOPT*WOPT^1.5)*8)
770 H=(-1+(1+2*C1*AF*10^-3*(P*RPMOPT+Q*RPMOPT^3))*BL/(-D1*WOPT+D2))^5/C1
780 IF H<=1*D/8 THEN ROTOP=BL :GOTO 810
785 HF=D
790 DL=(-D1*WOPT+D2)*(1+C1/2)/((AF*(P*RPMOPT+Q*RPMOPT^3))*10^-3)
795 DL=(-D1*WOPT+D2)*(1+C1/2)/((AF*(P*RPMOPT+Q*RPMOPT^3))*10^-3)
800 BF=RPMOPT*WOPT^1.5*ROTOP*B/GOTO 820
810 HF=H*D
815 DL=(-D1*WOPT+D2)*(1+C1/2)/((AF*(P*RPMOPT+Q*RPMOPT^3))*10^-3)
816 BF=OB
820 ROPTM=K*(WOPT*1000-(M))*RPMOPT^AY/(1+C2*HF/B)
823 ROP=K*(WOPT*1000-M)*RPMOPT^AY
830 FOOTG=(ROP+ROPTM)/2*ROTOP
840 COSTAL=(CDB+COP/24*(ROTOP+PROF/TV+.001*PROF*TCS))/FOOTG
842 PRINT
843 PRINT TAB(20); "RESULTADOS DE LOS VALORES OPTIMOS":PRINT
844 PRINT "COSTO ANTERIOR EN $/PIE =" ;COSTAN
845 PRINT "COSTO POR FT =" ;COSTAL
850 PRINT "PESO SOBRE BARRENA OPTIMO EN MILES DE LIBRAS =" ;WOPT
855 PRINT "VELOCIDAD DE ROTACION EN RPM =" ;RPMOPT
860 PRINT "RITMO DE PENETRACION INICIAL EN FT/HR =" ;ROP
870 PRINT "RITMO DE PENETRACION PROMEDIO EN FT/HR =" ;(ROP+ROPTM)/2
880 PRINT "LONGITUD PERFORADA EN FT =" ;FOOTG
890 PRINT "VIDA DEL BALERO EN HR =" ;BL
900 PRINT "VIDA DEL DIENTE EN HR =" ;DL
910 PRINT "TIEMPO DE ROTACION EN HR =" ;ROTOP
920 PRINT "DESGASTE DEL DIENTE =" ;INT(HF)
930 PRINT "DESGASTE DEL BALERO =" ;INT(BF)
939 PRINT
940 IF IMPRE=2 THEN 966
941 LPRINT:LPRINT :LPRINT
942 LPRINT TAB(20); "RESULTADOS DE LOS VALORES OPTIMOS":LPRINT :LPRINT
943 LPRINT "COSTO ANTERIOR =";FND(COSTAN); "$/PIE"
: LPRINT
944 LPRINT "COSTO POR PIE OPTIMIZADO =";FND(COSTAL); "$/PIE"
: LPRINT
945 LPRINT "PESO SOBRE BARRENA OPTIMO =";WOPT;" 10^3 LB"; FND(WOPT/2.2); " 10^3
: LPRINT "
3 LB":LPRINT
946 LPRINT "VELOCIDAD DE ROTACION OPTIMA =";RPMOPT;" RPM":LPRINT
947 LPRINT "RITMO DE PENETRACION INICIAL =";FND(ROP); "PIE/HR"
: LPRINT "
: R":LPRINT
948 LPRINT "RITMO DE PENETRACION PROMEDIO =";FND((ROP+ROPTM)/2);
: PIE/HR":LPRINT "
: /6.56"; "MT/HR":LPRINT
949 LPRINT "LONGITUD PERFORADA =";FND(FOOTG); "PIE"
: LPRINT "
: :LPRINT
950 LPRINT "VIDA DEL BALERO =";FND(BL); "HR":LPRINT

```

```

951 LPRINT "VIDA DEL DIENTE           =";FND(DL);"HR":LPRINT
952 LPRINT "TIEMPO DE ROTACION      =";FND(ROTOP);"HR":LPR
INT
953 LPRINT "DESGASTE DEL DIENTE        =";INT(HF):LPRINT
954 LPRINT "DESGASTE DEL BALERO        =";INT(BF):LPRINT
955 LPRINT
966 PRINT TAB(20);" DATOS ACTUALES DEL ESTADO DEL POZO Y DEL LOBO"
967 PRINT
968 INPUT "DIAMETRO INTERIOR DE TP EN PUG = ";DITP
969 INPUT "DIAMETRO EXTERIOR DE TP EN PUG = ";DETP
970 INPUT "LONGITUD DE TP EN PIE = ";LDTP
980 INPUT "DIAMETRO INTERIOR DE LASTRABARRENA EN PUG = ";DILTB
990 INPUT "DIAMETRO EXTERIOR DE LASTRABARRENA EN PUG = ";DELTB
1000 INPUT "LONGITUD DE LASTRABARRENA EN PIE = ";LDLTB
1010 INPUT "DIAMETRO INTERIOR DE LA ULTIMA TR EN PUG = ";DUTR
1020 INPUT "LONGITUD DE TR EN PIE = ";LDTR
1030 INPUT "TIPO DE EQUIPO 1,2,3 o 4 = ";TESUP
1040 INPUT "DENSIDAD DEL LOBO EN Lb/Gal = ";DEL
1050 INPUT "LECTURA DEL VISCOSIMETRO FANNIN A 600 RPM = ";LVFS
1060 INPUT "LECTURA DEL VISCOSIMETRO FANNIN A 300 RPM = ";LVFT
1065 INPUT "PRESION LIMITE EN SUPERFICIE EN PSI = ";PLSUP
1066 IF IMPRE=2 THEN 1085
1067 LPRINT
1068 LPRINT TAB(20);" DATOS ACTUALES DEL ESTADO DEL POZO Y DEL LOBO"
1069 LPRINT
1070 LPRINT "DIAMETRO INTERIOR DE TP           =";DITP;"PUG";
LPRINT "                                     =";FND(DITP*2.54);"CM";
1071 LPRINT "DIAMETRO EXTERIOR DE TP           =";DETP;"PUG";
LPRINT "                                     =";FND(DETP*2.54);"CM";
LPRINT
1072 LPRINT "LONGITUD DE TP                  =";LDTP;"PIE";
LPRINT "                                     =";FND(LDTP/3.28);"MT";
LPRINT
1073 LPRINT "DIAMETRO INTERIOR DE LASTRABARRENA =";DILTB;"PUG";
LPRINT "                                     =";FND(DILTB*2.54);"CM";
LPRINT
1074 LPRINT "DIAMETRO EXTERIOR DE LASTRABARRENA =";DELTB;"PUG";
LPRINT "                                     =";FND(DELTB*2.54);"CM";
LPRINT
1075 LPRINT "LONGITUD DE LASTRABARRENA       =";LDLTB;"PIE";
LPRINT "                                     =";FND(LDLTB/3.28);"MT";
LPRINT
1076 LPRINT "DIAMETRO INTERIOR DE LA ULTIMA TR =";DUTR;"PUG";
LPRINT "                                     =";FND(DUTR*2.54);"CM";
PRINT
1077 LPRINT "LONGITUD DE TR                  =";LDTR;"PIE";
LPRINT "                                     =";FND(LDTR/3.28);"MT";
LPRINT
1079 LPRINT "DENSIDAD DEL LOBO               =";DEL;"LB/GAL";
LPRINT "                                     =";FND(DEL*.12);"GFM/CC";
LPRINT
1080 LPRINT "LECTURA DEL VISCOSIMETRO FANN A 600 RPM = ";LVFS:LPRINT
1081 LPRINT "LECTURA DEL VISCOSIMETRO FANN A 300 RPM = ";LVFT:LPRINT
1082 LPRINT "PRESION LIMITE EN SUPERFICIE     =";PLSUP;"PSI";
LPRINT "                                     =";FND(PLSUP/14.7);"Kg";
CM^2":LPRINT
1085 QMAX=50*DR
1086 QMIN=30*DR

```

```

1090 HPMIN=(ROP/11.791973874)^{1/2.0650101111}
1100 IF ROP<=10 THEN HPMAX=3:GOTO 1120
1110 HPMAX=(ROP/.66697433251)^{1/2.2864950491}
1120 HPP=(HPMIN+HPMAX)/2*.7854*DB^2
1130 VISA=LVFS-LVFT
1140 TY=LVFT-VISA
1141 N=3.32*XLOG(LVFS/LVFT)/2.302
1142 KY=LVFT/511^N
1150 IF TESUP=1 THEN PESUP=2.525*10^-4*DEL^A.8*QMIN^1.8*VISA^2:GOTO 1190
1160 IF TESUP=2 THEN PESUP=9.619001*10^-5*DEL^A.8*QMIN^1.8*VISA^2:GOTO 1190
1170 IF TESUP=3 THEN PESUP=5.335*10^-5*DEL^A.8*QMIN^1.8*VISA^2:GOTO 1190
1180 IF TESUP=4 THEN PESUP=4.163*10^-5*DEL^A.8*QMIN^1.8*VISA^2
1190 V1=QMIN/(2.45*DITP^2)
1200 V2=QMIN/(2.45*DILTBA^2)
1210 V3=QMIN/(2.45*(DB^2-DELTA^2))
1220 V4=QMIN/(2.45*(DB^2-DETP^2))
1230 V5=QMIN/(2.45*(DUTR^2-DETP^2))
1240 V6=QMIN/(2.45*(DUTR^2-DELTA^2))
1250 NRETP=2965*DITP*V1*DEL/VISA
1260 NRELTB=2965*DILTBA*V2*DEL/VISA
1270 FFTP=.046/NRETP^.23854
1280 FFLTB=.046/NRELTB^.23854
1290 CPTP=FFTP*DITP*V1^2*DEL/(25.8*DITP)
1300 CPLTB=FFLTB*DLTB*V2^2*DEL/(25.8*DILTB)
1310 X=FFPOT-LDTB
1320 IF X>=LDTB THEN 1390
1330 L=PROF-LDTB
1340 CPELB=(144*V3/(DB-DELTB)*(2*N+1)/(3*N))^N*L*KY/(300*(DB-DELTB))
1350 LL=DLTB-1
1360 CPELB=CPELB+(144*V6/(DUTR-DELTB)*(2*N+1)/(3*N))^N*L*KY/(300*(DUTR-DELTB))
1370 CPEA=(144*V5/(DUTR-DETP)*(2*N+1)/(3*N))^N*L*DETP*KY/(300*(DUTR-DETP))
1380 GOTO 1430
1390 CPELB=(144*V3/(DB-DELTB)*(2*N+1)/(3*N))^N*DLTB*KY/(300*(DB-DELTB))
1400 CPEA=(144*V5/(DUTR-DETP)*(2*N+1)/(3*N))^N*L*DETP*KY/(300*(DUTR-DETP))
1410 LY=LDTB-LDTB
1420 CPEA=CPEA+(144*V4/(DB-DETP)*(2*N+1)/(3*N))^N*LY*KY/(300*(DB-DETP))
1430 CPTB=HPP*1714/QMIN
1440 CPT=CPTP+CPLTB+CPELB+CPEA+PESUP+CPTB
1450 IF CPT<=PLSUP THEN 1481
1460 IF QMIN>=QMAX THEN 1530
1470 QMIN=QMIN+10
1480 GOTO 1150
1481 DTB=(DEL*QMIN^2/(10858*CPTB))^.5
1482 DIA=(DTB*.425)^.5*32
1483 DEA=DIA-INT(DIA)
1484 IF DEA>.9 THEN T1=INT(DIA+1):T2=INT(DIA+1):T3=INT(DIA+1):GOTO 1488
1485 IF DEA>.5 THEN T1=INT(DIA):T2=INT(DIA+1):T3=INT(DIA+1):GOTO 1488
1486 IF DEA>=.15 THEN T1=INT(DIA):T2=INT(DIA):T3=INT(DIA+1):GOTO 1488
1487 IF DEA<.15 THEN T1=INT(DIA):T2=INT(DIA):T3=INT(DIA)
1488 DIB=(DTB*.637)^.5*32
1489 PER=DIB-INT(DIB)
1490 IF PER>.7 THEN T4=INT(DIB+1):T5=INT(DIB+1):GOTO 1497
1491 IF PER>=.2 THEN T4=INT(DIB):T5=INT(DIB+1):GOTO 1497
1492 IF PER<.2 THEN T4=INT(DIB):T5=INT(DIB)
1495 PRINT

```

```

1496 PRINT
1497 PRINT TAB(20); "RESULTADOS DE LA HIDRAULICA"
1498 PRINT
1499 PRINT "CAIDA DE PRESION DEL EQUIPO SUPERFICIAL PSI=";PESUP
1500 PRINT "CAIDA DE PRESION EN LAS TOBERAS PSI=";CPTB
1501 PRINT "CAIDA DE PRESION EN TP PSI=";CPTP
1502 PRINT "CAIDA DE PRESION EN LASTRABARRENAS PSI=";CPLTB
1503 PRINT "CAIDA DE PRESION EN EL ESPACIO ANULAR DE TP PSI=";CPEA
1504 PRINT "CAIDA DE PRESION EN EL ESPACIO ANULAR DE LASTRABARRENAS PSI=";CPELB
1505 PRINT "VISCOSIDAD PLASTICA CENTIPOISE=";VISA
1506 PRINT "PUNTO DE CEDENCIA LB/100 PIE CUADRADO =" ;TY
1507 PRINT "INDICE DE COMPORTAMIENTO DE FLUJO = ";N
1508 PRINT "INDICE DE CONSISTENCIA LB/100 PIE^2 = ";KY
1509 PRINT "CABALLAJE HPP/SQRT IN =";(HPPMIN+HPPMAX)/2
1510 PRINT "RASITO DE LA BOMBA Gal/min =";QMIN
1511 PRINT "ARREGLO DE 3 TOBERAS = ";T1;"-";T2;"-";T3
1512 PRINT "ARREGLO DE 2 TOBERAS = ";T4;"-";T5
1513 IF IMPRE=2 THEN 1528
1514 LPRINT;LPRINT TAB(20); "RESULTADOS DE LA HIDRAULICA";LPRINT ;LPRINT
1515 LPRINT "CAIDA DE PRESION DEL EQUIPO SUPERFICIAL =";FND(PESU
P); "PSI";LPRINT
P;"ESUP/14.7); "KG/CM^2";LPRINT
1516 LPRINT "CAIDA DE PRESION EN LAS TOBERAS =";FND(CPTB
); "PSI";LPRINT
CPTB/14.7); "KG/CM^2";LPRINT
1517 LPRINT "CAIDA DE PRESION EN TP =";FND(CPTP
); "PSI";LPRINT
CPTP/14.7); "KG/CM^2";LPRINT
1518 LPRINT "CAIDA DE PRESION EN LASTRABARRENAS =";FND(CPLT
B); "PSI";LPRINT
CPLTB/14.7); "KG/CM^2";LPRINT
1519 LPRINT "CAIDA DE PRESION EN EL ESPACIO ANULAR DE TP =";FND(CPEA
); "PSI"; LPRINT
CPEA/14.7); "KG/CM^2";LPRINT
1520 LPRINT "CAIDA DE PRESION EN EL ESPACIO ANULAR DE LASTRABARRENAS =";FND(CPEL
B); "PSI"; LPRINT
CPELB/14.7); "KG/CM^2";LPRINT
1521 LPRINT "VISCOSIDAD PLASTICA =";VISA; "CE
NTIPOISE";LPRINT
1522 LPRINT "PUNTO DE CEDENCIA =";TY; "LB/1
00 PIE^2";LPRINT
1523 LPRINT "INDICE DE COMPORTAMIENTO DE FLUJO =";N;LPRINT
1524 LPRINT "INDICE DE CONSISTENCIA =";KY; "LB/1
00 PIE^2";LPRINT
1525 LPRINT "CABALLAJE =";(HPPMIN+HPP
MAX)/2; "HPP/PUG^2";LPRINT
1526 LPRINT "RASITO DE LA BOMBA =";QMIN; "GA
L/MIN";LPRINT
IN/264.2); "MT^3/MIN";LPRINT
1527 LPRINT "ARREGLO DE 3 TOBERAS =";T1;"-";T
2;"-";T3;LPRINT
1528 LPRINT "ARREGLO DE 2 TOBERAS =";T4;"-";T
5;LPRINT
1529 STOP
1530 PC=CPTP+CPLTB+CPELB+CPEA+PESUP
1540 CPTB=PESUP-PC
1549 PC=CPTP+CPLTB+CPELB+CPEA+PESUP
1550 DTB=(DEL*QMIN^2/(10858*CPTB))^5

```

```

1551 DIA=(DTBX*.425)^.5*32
1552 DEB=DIA-INT(DIA)
1553 IF DEB>.9 THEN T1=INT(DIA+1):T2=INT(DIA+1):T3=INT(DIA+1):GOTO 1557
1554 IF DEB>.5 THEN T1=INT(DIA):T2=INT(DIA+1):T3=INT(DIA+1):GOTO 1557
1555 IF DEB>=.15 THEN T1=INT(DIA):T2=INT(DIA):T3=INT(DIA+1):GOTO 1557
1556 IF DEB<.15 THEN T1=INT(DIA):T2=INT(DIA):T3=INT(DIA)
1557 DIB=(DTBX*.637)^.5*32
1558 DEB=DEB-INT(DEB)
1559 IF DEB>.7 THEN T4=INT(DIB+1):T5=INT(DIB+1):GOTO 1580
1560 IF DEB>=.2 THEN T4=INT(DIB):T5=INT(DIB+1):GOTO 1580
1561 IF DEB<.2 THEN T4=INT(DIB):T5=INT(DIB)
1580 HPP=CPTB*QMIN/(1714*DIB^2)
1581 PRINT
1582 PRINT
1583 PRINT TAB(20);"RESULTADOS DE LA HIDRAULICA"
1584 PRINT
1585 PRINT "PRESION DEL EQUIPO SUPERFICIAL PSI=";PESUP
1586 PRINT "PREACION EN LAS TOBERAS PSI=";CPTB
1587 PRINT "CAIDA DE PRESION EN TP PSI=";CPTP
1588 PRINT "CAIDA DE PRESION EN LASTRABARRENAS PSI=";CPLTB
1589 PRINT "CAIDA DE PRESION EN EL ESPACIO ANULAR DE TP PSI=";CPEA
1590 PRINT "CAIDA DE PRESION EN EL ESPACIO ANULAR DE LASTRABARRENAS PSI=";CPELB
1591 PRINT "VISCOSIDAD PLASTICA CENTIPOISE=";VISA
1592 PRINT "PUNTO DE CEDENCIA LB/100 FIE CUADRADO =";TY
1593 PRINT "INDICE DE COMPORTAMIENTO DE FLUJO
1594 PRINT "INDICE DE CONSISTENCIA
00 PIES^2
1595 PRINT "GASTO DE LA BOMBA Gal/min =";QMIN
1596 PRINT "ARREGLO DE 3 TOBERAS
2;"-";T3
1597 PRINT "ARREGLO DE 2 TOBERAS
5
1604 PRINT "CABALLAJE HPP/SQRT IN =";(HPPMIN+HPPMAX)/2
1605 IF IMPRE=2 THEN 1700
1606 LPRINT:LPRINT TAB(20);"RESULTADOS DE LA HIDRAULICA":LPRINT :LPRINT
1607 LPRINT "CAIDA DE PRESION DEL EQUIPO SUPERFICIAL
";"PSI": LPRINT
";FND(PESU
";FND(PESUF/14.7);"KG/CM^2":LPRINT
1608 LPRINT "CAIDA DE PRESION EN LAS TOBERAS
";"PSI": LPRINT
";FND(CPTB/14.7);"KG/CM^2":LPRINT
1609 LPRINT "CAIDA DE PRESION EN TP
";"PSI": LPRINT
";FND(CPTP/14.7);"KG/CM^2":LPRINT
1610 LPRINT "CAIDA DE PRESION EN LASTRABARRENAS
";"PSI": LPRINT
";FND(CPLTB/14.7);"KG/CM^2":LPRINT
1620 LPRINT "CAIDA DE PRESION EN EL ESPACIO ANULAR DE TP
";"PSI": LPRINT
";FND(CPEA/14.7);"KG/CM^2":LPRINT
1630 LPRINT "CAIDA DE PRESION EN EL ESPACIO ANULAR DE LASTRABARRENAS
";"PSI": LPRINT
";FND(CPELB/14.7);"KG/CM^2":LPRINT
1640 LPRINT "VISCOSIDAD PLASTICA
";"VISA": CPEA
";NTIPOISE":LPRINT

```

```
1650 LPRINT "PUNTO DE CEDENCIA  
00 PIE^2":LPRINT =";TY";LB/1  
1651 LPRINT "INDICE DE COMPORTAMIENTO DE FLUJO  
1652 LPRINT "INDICE CONSISTENCIA  
00 PIE^2":LPRINT =";N  
1660 LPRINT "CABALLAJE  
IN+HFMAX)/2);"HPP/PUG^2":LPRINT =";KY";LB/1  
1670 LPRINT "GASTO DE LA BOMBA  
MT/MIN":LPRINT =";FND((HPP  
MIN/264.2);"MT^3/MIN":LPRINT =";FND(Q  
1680 LPRINT "ARREGLO DE 3 TOBERAS  
2;"--;T3:LPRINT =";T1;"--;T  
1681 LPRINT "ARREGLO DE 2 TOBERAS  
5:LPRINT =";T4;"--;T  
1700 END
```

PROGRAMA PARA OPTIMIZAR PESO SOBRE BARRENA, VELOCIDAD DE ROTACION E HIDRAULICA

ELABORADO POR: JESUS OLAYA BENITEZ

DATOS PARA LA PRUEBA DE 5 PUNTOS

PESO SOBRE BARRENA EN EL PUNTO 2	= 25000 LB = 11363.64 KG
VELOCIDAD DE ROTACION EN EL PUNTO 2	= 100 RPM
RITMO DE PENETRACION EN EL PUNTO 2	= 15.2 PIE/HR = 4.63 MT/HR
PESO SOBRE BARRENA EN EL PUNTO 3	= 25000 LB = 11363.64 KG
VELOCIDAD DE ROTACION EN EL PUNTO 3	= 140 RPM
RITMO DE PENETRACION EN EL PUNTO 3	= 18.4 PIE/HR = 5.61 MT/HR
PESO SOBRE BARRENA EN EL PUNTO 4	= 40000 LB = 18181.82 KG
VELOCIDAD DE ROTACION EN EL PUNTO 4	= 140 RPM
RITMO DE PENETRACION EN EL PUNTO 4	= 25.3 PIE/HR = 7.71 MT/HR
PESO SOBRE BARRENA EN EL PUNTO 5	= 40000 LB = 18181.82 KG
VELOCIDAD DE ROTACION EN EL PUNTO 5	= 100 RPM
RITMO DE PENETRACION EN EL PUNTO 5	= 21.6 PIE/HR = 6.59 MT/HR

RESULTADOS DE LA PRUEBA DE 5 PUNTOS

$$M = -12912.5$$

$$Y = .52$$

$$K = 3.717497E-05$$

**DATOS ACTUALES DEL POZO**

PROFOUNDIDAD	= 15000 PIE = 4573.17 MT
COSTO DE EQUIPO	= 4000000 \$/DIA
TIEMPO DE VIAJE	= 1050 PIE/HR = 320.12 MT/HR
TIEMPO DE CONEXION +REVISION	= 2.5 HR/1000 PIE = 2.5 HR/305 MT
DIAMETRO DE BARRENA	= 8.5 PUG = 21.59 CM
COSTO DE BERRENA	= \$ 1500000
CODIGO DE BARRENA	= COD. 124

**DATOS DE BARRENA ANTECEDENTE**

PESO SOBRE BARRENA	= 35. 10^3 LB = 15.91 10^3 KG
VELOCIDAD DE ROTACION	= 120 RPM
TIEMPO DE ROTACION	= 36 HR
DESGASTE DEL DIENTE	= 6
DESGASTE DEL BALERO	= 8
RITMO DE PENETRACION INICIAL	= 20 PIE/HR = 6.1 MT/HR
RITMO DE PENETRACION PROMEDIO	= 10 PIE/HR = 3.05 MT/HR
LONGITUD PERFORADA	= 360 PIE = 109.76 MT

**LIMITES DE OPERACION DE BARRENA**

PESO SOBRE BARRENA MAXIMO	= 50 10^3 LB = 22.73 10^3 KG
PESO SOBRE BARRENA MINIMO	= 25 10^3 LB = 11.36 10^3 KG
VELOCIDAD DE ROTACION MAXIMA	= 200 RPM
VELOCIDAD DE ROTACION MINIMA	= 100 RPM
CUANTO QUIERE QUE DURE EL DIENTE	= 8
CUANTO QUIERE QUE INFE EL BALERO	= 6

### RESULTADOS DE LOS VALORES OPTIMOS

COSTO ANTERIOR	= 44805.21 \$/PIE
COSTO OPTIMO POR PIE PERFORADO	= 33204.2 \$/PIE
PESO SOBRE BARRENA OPTIMO	= 45 $10^3$ LB = 20.45 $10^3$ LB
VELOCIDAD DE ROTACION OPTIMA	= 140 RPM
RITMO DE PENETRACION INICIAL	= 27.91 PIE/HR = 9.51 MT/HR
RITMO DE PENETRACION PROMEDIO	= 19.43 PIE/HR = 5.93 MT/HR
LONGITUD PERFORADA	= 411.35 PIE = 125.41 MT
VIDA DEL BALERO	= 21.17 HR
VIDA DEL DIENTE	= 35.63 HR
TIEMPO DE ROTACION	= 21.17 HR
DESGASTE DEL DIENTE	= 5
DESGASTE DEL BALERO	= 3

DATOS ACTUALES DEL ESTADO DEL POZO Y DEL LOBO

DIAMETRO INTERIOR DE TP	=	4.276 PUG
	=	10.66 CM
DIAMETRO EXTERIOR DE TP	=	5 PUG
	=	12.7 CM
LONGITUD DE TP	=	14300 PIE
	=	4359.76 MT
DIAMETRO INTERIOR DE LASTRABARRENA	=	2.8125 PUG
	=	7.14 CM
DIAMETRO EXTERIOR DE LASTRABARRENA	=	7 PUG
	=	17.78 CM
LONGITUD DE LASTRABARRENA	=	700 PIE
	=	213.41 MT
DIAMETRO INTERIOR DE LA ULTIMA TR	=	9.625 PUG
	=	24.45 CM
LONGITUD DE TR	=	7000 PIE
	=	2134.15 MT
DENSIDAD DEL LOBO	=	13 LB/GAL
	=	1.56 GRM/CC
LECTURA DEL VISCOSIMETRO FANN A 600 RPM	=	90
LECTURA DEL VISCOSIMETRO FANN A 300 RPM	=	55
PRESION LIMITE EN SUPERFICIE	=	2400 PSI
	=	163.27 KG/CM <sup>2</sup>

## RESULTADOS DE LA HIDRAULICA

CAIDA DE PRESION DEL EQUIPO SUPERFICIAL	= 18.15 PSI = 1.23 KG/CM^2
CAIDA DE PRESION EN LAS TOBERAS	= 1264.58 PSI = 86.03 KG/CM^2
CAIDA DE PRESION EN TP	= 220.63 PSI = 15.01 KG/CM^2
CAIDA DE PRESION EN LASTRABARRENAS	= 79.39 PSI = 5.4 KG/CM^2
CAIDA DE PRESION EN EL ESPACIO ANULAR DE TP	= 179.09 PSI = 12.18 KG/CM^2
CAIDA DE PRESION EN EL ESPACIO ANULAR DE LASTRABARRENAS	= 82.83 FB = 5.63 KG/CM^2
VISCOSIDAD PLASTICA	= 35 CENTIPOISE
PUNTO DE CEDENCIA	= 20 LB/100 PIE^2
INDICE DE COMPORTAMIENTO DE FLUJO	= .7102614
INDICE DE CONSISTENCIA	= .6556561 LB/100 PIE^2
CABALLAJE	= 3.315488 HPP/FUG^2
GASTO DE LA BOMBA	= 255 GAL/MIN = .97 MT^3/MIN
ARREGLO DE 3 TOBERAS	= 10 - 10 - 11
ARREGLO DE 2 TOBERAS	= 13 - 13

## DEFINICION DE LAS VARIABLES EMPLEADAS EN EL PROGRAMA

AF	= FACTOR DE ABRASIVIDAD DE LA FORMACION
B	= CONSTANTE DEL BALERO
BL	= VIDA DEL BALERO ,HR
BF	= DESGASTE DEL BALERO
C1,P,Q	= CONSTANTES DETERMINADA PARA CADA TIPO DE BARRENA
C2	= CONSTANTE QUE EXPRESA EL DESGASTE DEL DIENTE
COD	= CODIGO IAAC DE BARRENA
CPEA	= CAIDA DE PRESION EN EL ESPACIO ANULAR EN TP ,PSI
CPELB	= CAIDA DE PRESION EN EL ESPACIO ANULAR LASTRABARRENA ,PSI
CPLTB	= CAIDA DE PRESION EN LASTRABARRENA ,PSI
CPT	= CAIDA DE PRESION TOTAL ,PSI
CPTB	= CAIDA DE PRESION EN LAS TOBERAS ,PSI
CPTP	= CAIDA DE PRESION EN TP ,PSI
COSMIN	= COSTO MINIMO ,\$/PIE
COSTAL	= COSTO DE PERFORACION ,\$/PIE
COSTAN	= COSTO DE PERFORACION ANTERIOR ,\$/PIE
D1	= CONSTANTE DEPENDIENTE DEL DIAMETRO DE BARRENA
D2	= CONSTANTE DEPENDIENTE DEL DIAMETRO DE BARRENA
DL	= VIDA DEL DIENTE ,HR
DTB	= AREA TOTAL DE TOBERAS ,PUG^2
FFTP	= FACTOR DE FANNIN EN TP
FFLTB	= FACTOR DE FANNIN EN LASTRABARRENA
FOOT6	= LONGITUD PERFORADA ,PIE
H	= FRACCION DE DESGASTE DEL DIENTE
HF	= DESGASTE DEL DIENTE
HMAX	= CABALLAJE MAXIMO ,HPP/PUG^2
HMIN	= CABALLAJE MINIMO ,HPP/PUG^2
K	= CONSTANTE DE PERFORABILIDAD
KY	= INDICE DE CONSISTENCIA ,LB/100 PIE^2
LDTR	= LONGITUD DE TR ,PIE
M	= PESO SOBRE BARRENA EXTRAPOLADO A UNA VELOCIDAD CERO
N	= INDICE DE COMPORTAMIENTO DE FLUJO
NRELTB	= NUMERO DE REYNOLD EN LASTRABARRENA
NRETP	= NUMERO DE REYNOLD EN TP
PC	= CAIDA DE PRESION POR CIRCULACION ,PSI
PLSUP	= PRESION LIMITE SUPERFICIAL ,PSI
PROF	= PROFUNDIDAD ,PIE
PESUP	= CAIDA DE PRESION EN EL EQUIPO SUPERFICIAL ,PSI
GMAX	= GASTO MAXIMO ,GAL/MIN
GMIN	= GASTO MINIMO ,GAL/MIN
ROP	= RITMO DE PERFORACION ,PIE/HR
ROT	= TIEMPO DE ROTACION ,HR
ROTOP	= TIEMPO DE ROTACION OPTIMO ,HR

**RPMAX** = VELOCIDAD DE ROTACION MAXIMA ,RPM  
**RPMIN** = VELOCIDAD DE ROTACION MINIMA ,RPM  
**RPMOPT** = VELOCIDAD DE ROTACION OPTIMA ,RPM  
**T1...5** = DIAMETRO DE TOBERAS EN 12 DE PULG.  
**TESUP** = TIPO DE EQUIPO SUPERFICIAL  
**TY** = PUNTO DE CEDENCIA ,LB/100 PIE<sup>2</sup>  
**V1** = VELOCIDAD EN TP ,PIE/SEG  
**V2** = VELOCIDAD EN LASTRABARRENA ,PIE/SEG  
**V3** = VELOCIDAD ENTRE LASTRABARRENA - AGUJERO ,PIE/SEG  
**V4** = VELOCIDAD ENTRE TP - AGUJERO ,PIE/SEG  
**V5** = VELOCIDAD ENTRE TP - TR ,PIE/SEG  
**V6** = VELOCIDAD ENTRE LASTRABARRENA - TR ,PIE/SEG  
**VISA** = VISCOSIDAD APARENTE ,CENTIPOISE  
**WMAX** = PESO SOBRE BARRENA MAXIMO ,1000 LB  
**WMIN** = PESO SOBRE BARRENA MINIMO ,1000 LB  
**WOPT** = PESO SOBRE BARRENA OPTIMO ,1000 LB  
**Y** = EXPONENTE QUE EXPRESA EL DESGASTE DEL DIENTE

#### 4.5 CONCLUSIONES Y RECOMENDACIONES

El modelo desarrollado predice el ritmo de perforación teniendo en cuenta los efectos e interacciones en el peso sobre barrenas, velocidad de rotación, tipo de barrenas y tipo de formación, siempre y cuando las condiciones de la hidráulica sean las adecuadas.

Una apropiada selección de la barrena es el factor central para el control de la efectividad de cualquier programa de perforación.

Pesos sobre barrenas y velocidad de rotación altos son requeridos para minimizar el costo por pie perforado.

Con un peso sobre barrenas apropiado, una moderada velocidad de rotación y un buen limpiado en el fondo del agujero se reduce el costo por pie perforado.

La penetración por revolución en la barrena decrece con el incremento en la velocidad de rotación cuando la presión del lodo existe en el agujero.

El ritmo de perforación varía aproximadamente en proporción directa con el peso sobre barrenas, en formaciones de perforación normales.

El peso sobre barrenas óptimo, varía inversamente con el factor de perforabilidad de la formación, K.

La velocidad de rotación varía inversamente con el peso sobre barrenas.

El HHP requerido para obtener una limpieza óptima en el fondo del agujero varía directamente con el peso sobre barrenas y el ritmo de perforación para cualquier tipo de formación.

El costo por pie optimizado puede reducir hasta 2/3 al costo obtenido en perforaciones previas.

Hay necesidad de mejorar las técnicas de predicción de desgaste de las barrenas, mejorar la instrumentación del equipo de perforación particularmente para las mediciones de ritmo de perforación, propiedades de los fluidos y los parámetros de la hidráulica.

TABLA 1

Parámetros de desgaste del diente para una barrena tricónica

Serie	Clasificación	tipo	P	-Q	C <sub>1</sub>
1	Diente	1	2.5	0.0001088	7
	Formación	2	2.0	0.0000870	6
	suave	3	2.0	0.0000870	6
2	Diente	1	1.5	0.0000653	5
	Formación	2	1.2	0.0000522	4
	media	3	1.2	0.0000522	4
		4	0.9	0.0000392	3
3	Diente	1	.65	0.0000283	2
	Formación	2	0.5	0.0000218	2
	dura				

**CONTINUACION TABLA 1**

**Parámetros para los diámetros de la barrena**

<b>Diámetro de barrena (pulg.)</b>	<b>D<sub>1</sub></b>	<b>D<sub>2</sub></b>
6 1/4	0.088	5.50
6 3/4	0.083	5.61
7 7/8	0.074	5.94
8 5/8	0.071	6.11
9 1/2	0.067	6.39
9 5/8	0.066	6.42
9 7/8	0.065	6.44
10 3/4	0.062	6.68
12 1/4	0.058	7.15
13 3/4	0.055	7.56

TABLA 2

## TIPO DE EQUIPO CAIDA DE PRESION (PSI)

## Tipo I

Tubo Vertical 3" x 40' D.I.

Mangera 2" x 45' D.I.

Unión Girat. 2" x 20' D.I.  $P_s = 2.525 \times 10^{-4} \rho^{1.8} Q^{1.8} \mu_r^{0.2}$ 

Flecha 2 1/4" x 40' D.I.

## Tipo II

Tubo Vertical 3 1/2" x 40' D.I.

Mangera 2 1/2" x 55' D.I.

Unión Girat. 2 1/2" x 25' D.I.  $P_s = 9.619 \times 10^{-5} \rho^{1.8} Q^{1.8} \mu_r^{0.2}$ 

Flecha 3 1/4" x 40' D.I.

## Tipo III

Tubo Vertical 4" x 45' D.I.

Mangera 3" x 55' D.I.

Unión Girat. 2 1/2" x 25' D.I.  $P_s = 5.335 \times 10^{-5} \rho^{1.8} Q^{1.8} \mu_r^{0.2}$ 

Flecha 3 1/4" x 40' D.I.

## Tipo IIII

Tubo Vertical 4" x 45' D.I.

Mangera 3" x 55' D.I.

Unión Girat. 3" x 30' D.I.  $P_s = 4.163 \times 10^{-5} \rho^{1.8} Q^{1.8} \mu_r^{0.2}$ 

Flecha 4" x 40' D.I.

TABLA 3

MODELO DE BINGHAM (CIRCULACION EN TUBERIA)	
$\mu_p$	$\theta_{600} - \theta_{300}$
$\tau_c$	$\theta_{300} - \mu_p$
$V_c$	$\frac{67.91}{D} (\mu_p + \sqrt{\mu_p + 0.016 \tau_c D^2 \rho})$
API turbulento	$\frac{L \rho \cdot 8 V^{1.8} \mu_p \cdot 2}{3212923 D^{1.2}}$
API laminar	$\frac{L V \mu_p}{89775 D^2} + \frac{\tau_c L}{225 D}$

Donde:

- $\mu_p$  Viscosidad plástica, cp  
 $\tau_c$  Punto de cedencia, lbf/100 pie<sup>2</sup>  
 $\theta_{600}$  Lectura del viscosímetro a 600 rpm  
 $\theta_{300}$  Lectura del viscosímetro a 300 rpm  
 $\rho$  Densidad del todo, lb/gal  
 $D$  Diámetro interior de TP o lastrabarrena, pulg.  
 $L$  Longitud pie  
 $V$  Velocidad de circulación, pie/min  
 $V_c$  Velocidad crítica, pie/min  
 API Caída de presión en tubería, psi

TABLA 4

MODELO LEY DE POTENCIA (CIRCULACION ESPACIO ANULAR)	
PARAMETRO A CALCULAR	
n	$3.32 \log \frac{\theta_{600}}{\theta_{300}}$
K	$\frac{\theta_{300}}{511^n} \quad \frac{\theta_{600}}{1022^n}$
Vc	$1.969 \left( \frac{4.08 (3470 - 1370) K}{\rho} \right)^{1/2-n} \left( \frac{2n+1}{0.64(Do-Di)} \right)^{n/2+n}$
ΔPa laminar	$\frac{KL}{300(Do-Di)} \left( \frac{0.8 V}{Do-Di} \right) \left( \frac{2n+1}{n} \right)^n$

Donde:

- θ<sub>600</sub> Lectura del viscosímetro a 600 rpm  
 θ<sub>300</sub> Lectura del viscosímetro a 300 rpm  
 ρ Densidad del lodo, lbs/gal  
 Do Diámetro del pozo, pulg.  
 Di Diámetro exterior de T.P. o lastrabarrena, pulg.  
 K Índice de consistencia, lbf/seg/100 pie<sup>2</sup>  
 n Índice de comportamiento  
 V Velocidad de circulación, pie/min  
 Vc Velocidad crítica, pie/min  
 ΔPa Caída de presión en el espacio anular, psi

## BIBLIOGRAFIA

1. Bruce, G. H., Friedman, R. H., Graham, J. W. and Simon, L. H.: "Minimum Cost Drilling --Selection of Weight on the Rotary Speed", Unpublished report FR 61-1, Humble oil & refining Co.
2. Galle, E. M. and Woods, H. B.: "Variable Weight and Rotary Speed for Lowest Drilling Cost", paper presented at 20th Annual Meeting of AAODC, New Orleans, La., Sept. 25-27, 1960.
3. Graham, J. W. and Muench, N. L.: "Analytical Determination of optimum Bit Weight and rotary Speed Combinations", paper SPE 1349-G presented at SPE 34th Annual Fall Meeting, Dallas, Tex., Oct. 4-7, 1959.
4. Eckel, J. E. and Rawley, D. S.: "The Effect of Rotary Speed on Penetration Rate", 17th Annual Meeting of AAODC, Tulsa, Oklahoma, October 13-15, 1957, Drilling Contractor (December 1957), 14, No. 5.
5. Moore, P. L. and Catlin, C.: "How to reduce Drilling Cost: Part 5. What We Know About Effect of Rotary Speed on Drilling Rate", Oil and Gas J. (Aug. 15, 1960) 170.
6. Outmans, H. D.: "The Effect of Some Drilling Variables on the Instantaneous Rate of Penetration", Trans. AIME (1960) 219, 127-149.
7. Cunningham, R. S. (Consultant to Esso production Research Co.): Private communication, 1964.
8. King, G. R.: "Why Rock-Bit Bearing Fail", Oil and gas J. (Nov. 16, 1959) 166-170, 173, 175, 178, 179, 182.
9. Lubinski, Artur: "Proposal for Further Tests", Comment on work of the AAODC Study Committee on Weight/Speed/Penetration, Pet. Eng. (Jan., 1958).
10. Garnier, A. J. and Van Lingen, N. H.: "Phenomena Affecting Drilling Rate at Depth", Trans., AIME(1959) 216, 232-239.
11. Galle, E. M. and Woods, H. B.: "How to Calculate Bit Weight and rotary speed for Lowest-Cost Drilling", Part 1, Oil and gas J. (Nov. 14, 1960) 167, 149, 172, 174, 176.
12. Lummus, J. L.: "Analysis of Mud - Hydraulics Interactions", Pet. Eng. (Feb. 1974).
13. Kendall, H. A.: "Design and Operation of Jet - Bit Programs for Maximum Hydraulics Horsepower", Trans., AIME (1961).

14. Randall, B. U.: "Optimum Hydraulics," Pet. Eng. (Sept. 1975).

## APENDICE A

### Prueba de los cinco puntos

El programa secuencial para esta prueba es mostrado en la Fig. A.

Si la relación  $R_1 - R_6 \leq \epsilon$ , se considera la prueba aceptable, y los ritmo de penetración,  $R_2, R_3, R_4$  y  $R_5$  son usados para evaluar las constantes  $M, \lambda$  y  $K$  en la ecuación de ritmo de perforación.

$$\frac{dT}{dt} = K \frac{(W - M) N^\lambda}{(1 + C_2 H)} \quad (A-1)$$

$M$  y  $\lambda$  son determinados como sigue. El ritmo de perforación el cual se asume que es proporcional al peso sobre barrena, puede ser expresado como  $R = aW + b$ . Refiriéndose a la Fig. 15 y usando este nomenclatura, la relación entre el ritmo de perforación y una velocidad de rotación constante viene dada por:

$$W = aR + M \quad (A-2)$$

donde la pendiente  $a$ , es igual  $W/R$ . Más específicamente para una velocidad de rotación  $N$ , igual a  $N_1$

$$W = R(W/R) + M_1 \quad (A-3)$$

### Rescomodando

$$M_1 = W - R(W/R) \quad (A-4)$$

Para el punto 2 a una velocidad de rotación constante  $N$ ,  $W = W_2$  y  
 $R = R_2$ , entonces:

$$M_1 = W_2 - R_2[(W_2 - W_5)/(R_2 - R_5)] \quad (A-5)$$

$M_2$  puede ser calculada similarmente para una velocidad de rotación constante,  $N_2$ .

$$M_2 = W_3 - R_3[(W_3 - W_4)/(R_3 - R_4)] \quad (A-6)$$

M se obtiene del promedio entre  $M_1$  y  $M_2$

$$M = .50[W_2 - R_2(W_2 - W_5)/(R_2 - R_5) + W_3 - R_3(W_3 - W_4)/(R_3 - R_4)] \quad (A-7)$$

El parámetro  $\lambda$  es determinado como sigue. El ritmo de perforación es proporcional a la velocidad de rotación para un peso sobre bocana y desgaste del diente constante. La relación entre los ritmos de perforación  $R_1$  y  $R_2$  para dos diferentes velocidades de rotación  $N_1$  y  $N_2$  es:

$$\frac{R_1}{R_2} = \left( \frac{N_1}{N_2} \right)^{\lambda} \quad (A-8)$$

El exponente  $\lambda$  puede ser resuelto tomando logaritmo natural en ambos lados de la ecuación (A-8) y la solución para  $\lambda$  es:

$$\ln(R_1/R_2) = \lambda \ln(N_1/N_2)$$

$$\lambda = \ln(R_1/R_2)/\ln(N_1/N_2) \quad (A-9)$$

Refiriéndonos a la Fig. 14, para un peso sobre barrena constante  $W_1$ ,  $\lambda_1$  puede ser determinado como sigue,

$$\lambda_1 = \ln(R_3/R_2)/\ln(N_3/N_2) \quad (A-10)$$

$\lambda_2$  puede ser calculado similarmente para un peso sobre barrena constante  $W_2$ .

$$\lambda = \ln(R_4/R_5)/\ln(N_4/N_5) \quad (A-11)$$

$\lambda$  se obtiene del promedio entre  $\lambda_1$  y  $\lambda_2$ .

$$\lambda = .5[\ln(R_3/R_2)/\ln(N_3/N_2) + \ln(R_4/R_5)/\ln(N_4/N_5)] \quad (A-12)$$

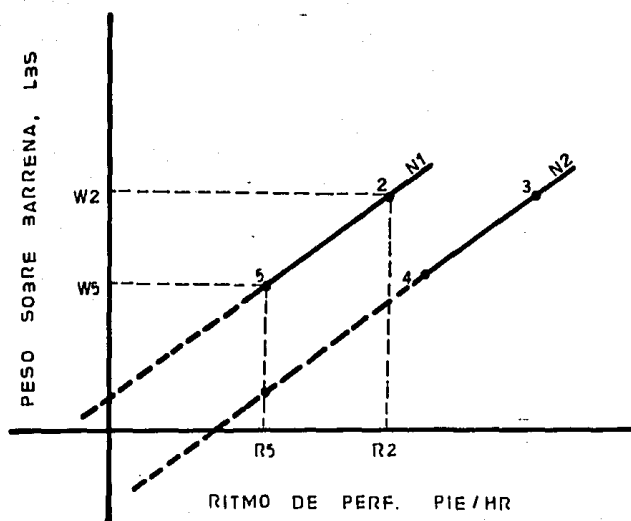
Ahora que todos los parámetros han sido determinados, el factor de perforabilidad  $K$  puede calcularse para el tiempo al cual el desgaste del diente es igual a la altura normalizada del diente de la barrena.

$$R = K \frac{(W - M) N^\lambda}{(1 + C_2 H)} \quad (A-13)$$

Despejando  $K$

ESTA TESIS  
NO DEBE  
SALIR DE LA BIBLIOTECA

### RITMO DE PERF. VS PESO SOBRE BARRENA



### RITMO DE PERF. VS VELOCIDAD DE ROTACION

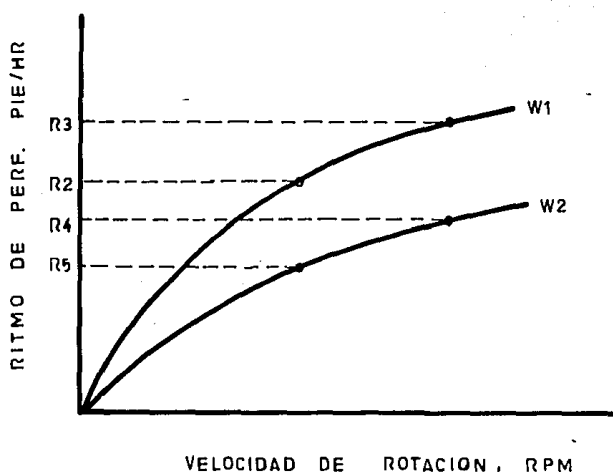


FIG. 13

$$K = R \frac{(1 + C_2 H)}{(W - M) N} \quad (A-14)$$

Si la barrena es nueva entonces,  $H=0$  y la ecuación (A-14) para el punto 2 será

$$K_2 = \frac{R_2}{(W_2 - M) N_2} \quad (A-15)$$

Para el punto 3,

$$K_3 = \frac{R_3}{(W_3 - M) N_3} \quad (A-16)$$

Y así sucesivamente,  $K$  se obtiene de la siguiente forma

$$K = \frac{K_2 + K_3 + K_4 + K_5}{4} \quad (A-17)$$

Reemplazando

$$K = .25[R_2/((W_2 - M)N_2) + R_3/((W_3 - M)N_3) + R_4/((W_4 - M)N_4) + R_5/((W_5 - M)N_5)] \quad (A-18)$$

## APENDICE B

### Soluciones de las ecuaciones de desgaste del diente

#### Desgaste del balero

El ritmo de desgaste del balero es directamente proporcional a la velocidad de rotación y peso sobre barrena elevado a la potencia :

$$\frac{dB}{dT} = N W^{\alpha}$$

Usando una constante de balero  $1/b$ , la ecuación para el desgaste del balero sería

$$\frac{dE}{dT} = \frac{1}{b} N W^{\alpha} \quad (B-1)$$

Integrando el desgaste del balero  $dB$ , entre el intervalo  $B_{i-1} \rightarrow B_i$  y  $dT$  desde  $T_{i-1}$  a  $T_i$ :

$$dB = \frac{N W^{\alpha}}{b} dT \quad (B-2)$$

$$(B_i - B_{i-1}) = \frac{N W^{\alpha}}{b} (T_i - T_{i-1}) \quad (B-3)$$

donde  $i$  es cualquier tiempo durante la vida de la barrena.  
Haciendo uso de diferencias finitas, el desgaste acumulativo del

balero,  $R$ , es ahora

$$R_i = \frac{t_{i0}}{t_{i0} - t_0} R = \frac{t_{i0}}{t_{i0} - t_0} N_f W_f t/b \quad (B-4)$$

### Desgaste del balero

Los efectos velocidad de rotación, peso sobre barrera y desgaste del diente sobre el ritmo de desgaste del diente son presentados en la siguiente relación:

$$\frac{dH}{dT} = \frac{(PN + QN^3)}{(-D_1W + D_2)(1 + C_1 H)} \quad (B-5)$$

La constante  $A_f$ , es usada para definir el ritmo de perforación de desgaste del diente y distingue el ritmo de desgaste del diente de varias formaciones

$$\frac{dH}{dT} = A_f \frac{(PN + QN^3)}{(-D_1W + D_2)(1 + C_1 H)} \quad (B-6)$$

$$(1 + C_1 H)dH = A_f \frac{(PN + QN^3)}{(-D_1W + D_2)} \quad (B-7)$$

Integrando  $dH$  desde  $H_{i-1}$  a  $H_i$  y  $dT$  desde  $T_{i-1}$  a  $T_i$

$$\int_{H_{i-1}}^{H_i} (1 + C_1 H)dH = \int_{T_{i-1}}^{T_i} A_f \frac{(PN + QN^3)}{(-D_1W + D_2)} dT \quad (B-8)$$

$$\frac{C_1}{H_i} + \frac{C_2}{2} - \frac{H_{i-1}(H_{i-1} + H_i)}{2} = A_f \frac{(PN + QN^3)}{(-D_1H + D_2)} \quad (B-9)$$

Los valores de los parámetros  $P$ ,  $Q$ ,  $D_1$ ,  $D_2$  y  $C_1$  son conocidos para cada tipo de barrenos (ver Tabla 1). El factor de abrasividad es determinado a partir de previos recorridos de barrenos o de información adicional.

La ecuación (B-9), puede resolverse usando la raíz positiva como solución deseada:

$$H_i = \frac{C_2}{C_1} + \sqrt{\frac{1420P(H_{i-1}) + C_2(H_{i-1}) + A_f(PN + QN^3)T}{2}} \quad (B-10)$$

## NOMENCLATURA

- A.F. = FACTOR DE ABRASIVIDAD DE LA FORMACION  
? = CONSTANTE (PEGO SOBRE BARRENA VS RITMO DE PERFORACION)  
B. = ALTURA NORMALIZADA DEL BALERO  
b = CONSTANTE DEL BALERO  
C = COSTO DE PERFORACION, \$/PIE  
CB = COSTO DE BARRENA, \$  
CE = COSTO DE EQUIPO, \$  
CT = COSTO POR VIAJE, \$/HRS  
C1 = CONSTANTE DEPENDIENTE DEL TIPO DE BARRENA  
D6 = DIAMETRO DE BARRENA, PULG.  
D.I. = DIAMETRO INTERIOR, PULG.  
Dp = DIAMETRO DE T.P., PULG.  
P1 = CONSTANTE DEPENDIENTE DEL DIAMETRO DE BARRENA  
P2 = CONSTANTE DEPENDIENTE DEL DIAMETRO DE BARRENA  
q = ALTURA NORMALIZADA DEL DIENTE  
J = DIAMETRO DE TOBERA, 1/32 PULG.  
K = CONSTANTE DE PERFORABILIDAD  
K = INDICE DE CONSISTENCIA LBF/100 PIES<sup>2</sup>  
L = LONGUITUD, PIES  
N = VELOCIDAD DE ROTACION, RPM  
n = INDICE DE COMPORTAMIENTO DE FLUJO  
M = PESO MINIMO SOBRE BARRENA PARA INICIAR PERR, 1000 LBS  
P = CONSTANTE DEPENDIENTE DEL DIAMETRO DE BARRENA

$Q$  = CONSTANTE DEPENDIENTE DEL DIAMETRO DE BARRENA  
 $Q_{max}$  = GASTO MAXIMO, GAL/MIN.  
 $Q_{min}$  = GASTO MINIMO, GAL/MIN.  
 $Q_s$  = GASTO SELECCIONADO, GAL/MIN.  
 $R$  = RITMO DE PERFORACION, PIE/HRS  
 $V$  = VELOCIDAD DE CIRCULACION, PIE/MIN  
 $V_c$  = VELOCIDAD CRITICA, PIE/MIN  
 $V_J$  = VELOCIDAD EN LAS TOBERAS, PIE/MIN  
 $\Delta P$  = DIFERENCIA DE PRESION EN TUBERIAS, PSI  
 $\rho$  = DENSIDAD DEL LICOIDO, LB/GAL  
 $\mu_p$  = VISCOSIDAD PLASTICA, CP